

## TEMA 11. INTRODUCCIÓN A HEP.

La Física de partículas (o Física de Altas Energías - HEP -) es un campo de las ciencias naturales que busca desentrañar la estructura última de la materia.

¿Cómo se consigue?

i) Buscar partículas elementales (los últimos constituyentes de la materia)

ii) Clasificar qué interacciones actúan sobre dichas partículas elementales para formar la materia tal y como la conocemos.

Vamos a hacer un repaso histórico de la historia moderna de las partículas elementales

			<u>Experimentos</u>
S. XIX	$10^{-10} m$	Átomo	
1897	Thomson	$e^-$	Rayos catódicos.
1911	Rutherford	modelo atómico	Isótopos.
1932	Chadwick	neutrón	Isótopos.
1937	Anderson et al.	muón	Rayos cósmicos.
1947	Powell et al.	$\pi$ y otras	Rayos cósmicos.
1955	Segre	$\bar{p}$	Beratrón
1956	Cowan	$\nu$	Reactor
1964	Savits et al.	$-\Omega$	Reactor BNL
1974	Tung et al.	J/ψ & c	BNL
1975	Pearl	$Z$	Spear
1978	Bedardum	$\gamma$ & b	Fermilab
1983	Rubbia et al.	$W$ & $Z^0$	SppS
1994	Muchos	$t$	Tevatrón LEP
1998	Totsuka et al.	Fosil.	Rayos Cósmicos
2012	Muchos	Higgs	Atlas, CMS

$$(10^{-19} m) \dots \lambda_p = \sqrt{\frac{hG}{cT}} = 10^{-35} m$$

1911	Rutherford	Modelo atómico
1927-30	Heisenberg Pauli	QFT
1930	Dirac	Ec. Dirac
1930	Pauli	Neutrino
1934	Fermi	Weak int.
1935	Yukawa	meson theory
1946-49	Tomonaga Schwinger Feynman	QED
1954	Yang, Mills	Non abelian YM th.
1956	Yang, Lee	Violación paridad
1958	Feynman et al.	Vector-Axial theory
1960	Norman	Rupt. espont. simetría
1964	Gell-Mann et al.	Quark model
1964		Violación CP
1964	Higgs et al.	Mecanismo Higgs
1961-68	Glashow, Salam Weinberg	Unificación electrodébil
1971	Veltrou, 't Hooft	Renormalización ENU

1973

Kobayashi  
Maskawa

KM model CP

1973

Politzer, Gross  
WilczekQCD, libertad  
asintótica.

¿ y ahora? Nada.

Propiedades de las partículas elementales:

① Una partícula está "especialmente localizada en cada instante" y su número es contable.

$$E = \frac{mc^2}{\sqrt{1 - \frac{v^2}{c^2}}}, \quad p^i = \frac{mv^i}{\sqrt{1 - \frac{v^2}{c^2}}}$$

Definimos masa y velocidad a partir de energía y momento

$$\left. \begin{aligned} E^2 &= (pc)^2 + (mc^2)^2 \\ \vec{v} &= \vec{p} \frac{c^2}{E} \end{aligned} \right\} \Rightarrow \begin{aligned} m &\rightarrow 0 \\ E &= pc \quad (\text{fotón}) \\ v &= c \end{aligned}$$



(2) Una partícula puede ser creada o aniquilada.

$$e^+ + e^- \rightarrow \gamma + \gamma$$

$$\pi^- + p \rightarrow K^0 + \Lambda$$

$$\pi^+ \rightarrow \mu^+ + \nu_\mu$$

Conclusión importante: no nos sirve Schrödinger porque ii la probabilidad de existencia de una partícula no se conserva!!

↳ me falta QFT (tiene en cuenta creación y destrucción de partículas).

(3) Corolario de 2. Una partícula no es necesariamente estable.

La probabilidad de que la partícula "muera" en  $dt$  si su vida media es  $\tau$

$$= \frac{dN}{N} = -\frac{dt}{\tau} \Rightarrow N(t) = N_0 e^{-t/\tau}$$

Pero, en mecánica cuántica, la "probabilidad de existencia" de una partícula es  $\propto |\psi|^2$ , luego

$$|\psi|^2 \propto e^{-t/\tau}$$

Consideremos una partícula en un autoestado de energía,

$$\psi(x,t) \propto \psi(x) e^{-iEt/\hbar}$$

Hagamos  $E = E_0 - i\frac{\Gamma}{2}$ . Entonces:

$$|\psi(t)|^2 = |\psi(x)|^2 e^{-i(E_0 - i\Gamma/2)t/\hbar} =$$

$$= |\psi(x)|^2 e^{-\Gamma t/\hbar}, \text{ luego}$$

$\Gamma = \hbar/\tau$  y  $\tau$  tiene que

$$\boxed{\text{Inestable} \Leftrightarrow E \in \mathbb{C} \text{ con } \Gamma = \text{Im}(E) > 0}$$

¿Cómo será la distribución de masa (energía) de la partícula?

④ Una partícula tiene spin y otros grados de libertad.

•  $(E, p_i) : \text{g.l. externos} \rightarrow \text{simetrías}$

•  $(\text{carga, spin, color, isospin, } \dots) : \text{g.l. internos}$



¿simetrías?

⑤ Cada partícula tiene su correspondiente antipartícula.

$$p(m, z, s) \rightarrow \bar{p}(m, z, s)$$

$$p(s_z, h_{int}) \rightarrow \bar{p}(-s_z, h_{int})$$

(conjugación  $T^h$  CPT).

⑥ Clasificación  $\begin{cases} \rightarrow \text{Hadrones} : \text{sienten fuerza fuerte.} \\ \rightarrow \text{leptones} : \text{no la sienten.} \end{cases}$

Hadrones  $\begin{cases} \rightarrow s \text{ semientero} : \text{bariones} : p, n, \Lambda, \Sigma, \Xi, \dots \\ \rightarrow s \text{ entero} : \text{mesones} : \pi, K, \rho, \dots \\ \rightarrow \text{compuestos de quarks } (s=1/2) \end{cases}$

$(u, d, s, c, b, t) \rightarrow$  masa aumenta  
 $(\nu, \text{down}, \text{strange}, \text{charm}, \text{bottom}, \text{top})$   
 $\rightarrow$  grados de libertad de color: RGB

$$q = \begin{cases} 2/3 e \\ -1/3 e \end{cases}$$

leptones (S=1/2)

$e \quad \nu_e$

$\mu \quad \nu_\mu$

$\tau \quad \nu_\tau$

$(q \neq 0) (q = 0)$

### Resumen particular

	spin	Q	$I_3$	Generación		
				I	II	III
quarks	$\frac{1}{2}$	$+2/3$	$+1/2$	u	c	t
	$\frac{1}{2}$	$-1/3$	$-1/2$	d	s	b
leptones	$\frac{1}{2}$	0	$+1/2$	$\nu_e$	$\nu_\mu$	$\nu_\tau$
	$\frac{1}{2}$	-1	$-1/2$	e	$\mu$	$\tau$



# Resumen interacciones fundamentales

Fuente	Fuente	(Nuclear)	EM	Débil	Gravedad
Fuente	Ácolor	(hadron)	Qe	Le débil	Ty <sub>s</sub>
Intensidad	0.1	(10)	1/137	10 <sup>-5</sup>	10 <sup>-42</sup>
Rango (m)	∞ <sup>*</sup>	(10 <sup>-17</sup> )	∞	10 <sup>-18</sup>	∞
Potencial	$\frac{K_1 + K_2}{r}$	$\left( \frac{e^{-m_\pi r}}{r} \right)$	$\frac{1}{r}$	$\frac{e^{-m_W r}}{r}$	$\frac{1}{r}$
Portador	gluón (S=1, 8 tipos)	(mesón π)	γ (S=1)	W <sup>±</sup> , Z <sup>0</sup> (S=1)	¿gravitón? (S=2)
Teoría	QCD	(Yukawa)	QED	<div><div></div><div></div></div>	
Simetría	SV(3)	(-)	GWS modelo		
gauge			U(1) × SV(2)		Grupo Poincaré

(\* sin significado si  $\lambda > 10^{-15} \text{ m}$  por el efecto de confinamiento de quarks).

## TEMA 12. TEORÍA CLÁSICA DE CAMPOS

Consideremos un campo  $\varphi(x)$ . Trabajemos con la densidad Lagrangiana,  $\mathcal{L}$ .

$$L = T - V = \int \mathcal{L} d^3x$$

la acción es  $S = \int dt L = \int_M \mathcal{L} d^4x$

los lagrangianos típicos en QFT dependen de:  
campos y derivados primeros

$$\mathcal{L} = \mathcal{L}(\varphi, \partial_\mu \varphi)$$

Consideraremos campos locales ( $\mathcal{L}$  depende de  $\varphi|_{x^\mu}$  y  $\partial_\mu \varphi|_{x^\mu}$ ,  $x^\mu$  concreto)

Principio de acción estacionaria

$$0 = \delta S = \delta \int_M d^4x \mathcal{L}$$

$$= \int_M d^4x \left[ \frac{\partial \mathcal{L}}{\partial \varphi} \delta \varphi + \frac{\partial \mathcal{L}}{\partial (\partial_\mu \varphi)} \delta (\partial_\mu \varphi) \right]$$

Observación :  $\delta (\partial_\mu \varphi) = \partial_\mu (\delta \varphi)$

Segundo término :

$$\int_M d^4x \frac{\partial \mathcal{L}}{\partial (\partial_\mu \varphi)} \delta (\partial_\mu \varphi) = \int_M d^4x \frac{\partial \mathcal{L}}{\partial (\partial_\mu \varphi)} \partial_\mu (\delta \varphi)$$

$$= - \int_M d^4x \partial_\mu \left( \frac{\partial \mathcal{L}}{\partial (\partial_\mu \varphi)} \right) \delta \varphi +$$

$$+ \underbrace{\int_M d^4x \partial_\mu \left[ \frac{\partial \mathcal{L}}{\partial (\partial_\mu \varphi)} \delta \varphi \right]}$$

es una divergencia total

$$= \int_M d^4x \partial_\mu \mathcal{G}^\mu =$$

$$= \int_{\partial M} d\sigma_\mu \frac{\partial \mathcal{L}}{\partial (\partial_\mu \varphi)} \delta \varphi = \int_{\partial M} d^3\sigma \partial_\mu \frac{\partial \mathcal{L}}{\partial (\partial_\mu \varphi)} \delta \varphi$$

$\nwarrow$   
Th Stokes

$\nwarrow$   
 $\delta \varphi|_{\partial M} = 0$

$$\Rightarrow \boxed{\frac{\partial \mathcal{L}}{\partial \varphi} - \partial_\mu \left( \frac{\partial \mathcal{L}}{\partial (\partial_\mu \varphi)} \right) = 0}$$

Ecuaciones de Euler-Lagrange.

La densidad de momento canónica es

$$\pi(x) = \frac{\partial \mathcal{L}}{\partial \dot{\varphi}} \quad \text{y la}$$

densidad Hamiltoniana es

$$\mathcal{H} = \pi(x) \dot{\varphi}(x) - \mathcal{L}$$

El Hamiltoniano será

$$H = \int d^3x \mathcal{H}$$

Veamos algunos ejemplos de teorías clásicas  
de campos

### Campo escalar real (Higgs)

$$\mathcal{L} = \frac{1}{2} ( \partial_\mu \varphi \partial^\mu \varphi - m^2 \varphi^2 )$$

$$\frac{\partial \mathcal{L}}{\partial (\partial_\alpha \varphi)} = \frac{\partial}{\partial (\partial_\alpha \varphi)} \frac{1}{2} ( \partial_\mu \varphi \partial^\mu \varphi - m^2 \varphi^2 )$$

$$= \frac{1}{2} \frac{\partial}{\partial (\partial_\alpha \varphi)} ( \partial_\mu \varphi \partial^\mu \varphi ) = \frac{1}{2} \frac{\partial}{\partial (\partial_\alpha \varphi)} ( g^{\mu\nu} \partial_\mu \varphi \partial_\nu \varphi )$$

$$= \frac{1}{2} \left( g^{\mu\nu} \frac{\partial_\mu \varphi}{\partial_\alpha \varphi} \partial_\nu \varphi + g^{\mu\nu} \partial_\mu \varphi \frac{\partial_\nu \varphi}{\partial_\alpha \varphi} \right)$$

$$= \frac{1}{2} ( g^{\mu\nu} \delta_\mu^\alpha \partial_\nu \varphi + g^{\mu\nu} \partial_\mu \varphi \delta_\nu^\alpha )$$

$$= \frac{1}{2} ( g^{\alpha\nu} \partial_\nu \varphi + g^{\mu\alpha} \partial_\mu \varphi )$$

$$= \frac{1}{2} ( \partial^{\alpha\mu} \partial_\mu \varphi + g^{\mu\alpha} \partial_\mu \varphi )$$

$$= g^{\mu\alpha} \partial_\mu \varphi = \partial^\alpha \varphi$$



$$\partial_\alpha \left( \frac{\partial \mathcal{L}}{\partial (\partial_\alpha \psi)} \right) = \partial_\alpha \partial^\alpha \psi = \square \psi$$

$$\frac{\partial \mathcal{L}}{\partial \psi} = -m^2 \psi$$

$$\Rightarrow -m^2 \psi - \square \psi = 0 \Rightarrow \boxed{(\square + m^2) \psi = 0}$$

Klein-Gordon

Otro ejemplos (electrodinámica)

$$i) \mathcal{L} = \frac{1}{2} [(\partial_t \psi)^2 - (\partial_x \psi)^2] + \cos \psi$$

$$\Rightarrow \boxed{\frac{\partial^2 \psi}{\partial t^2} - \frac{\partial^2 \psi}{\partial x^2} + \sin \psi = 0} \Leftrightarrow (\square + \sin) \psi = 0$$

Sine-Gordon

$$ii) \mathcal{L} = -\frac{\hbar}{2i} (\psi^* \partial_t \psi - \psi \partial_t \psi^*)$$

$$-\frac{\hbar^2}{2m} \partial_i \psi \partial^i \psi^* - \psi^* V \psi$$

- Obtener la ecuación de Schrödinger
- Hacer el cambio  $\psi = N e^{iS/\hbar}$

obtener

$$\mathcal{L} = -N^2 \dot{S} - \frac{\hbar^2}{2m} \partial_i N \partial^i N - \frac{N^2}{2m} \partial_i S \partial^i S - V N^2$$

- Las ecuaciones de Euler-Lagrange correspondientes son

$$\partial_t \mathcal{L} + \frac{1}{m} \nabla_i (\mathcal{L} \nabla^i S) = 0 \quad (\mathcal{L} := N^2)$$

$$\partial_t S + \frac{1}{2m} \partial_i S \partial^i S + V - \frac{\hbar^2}{2m} \frac{\Delta N}{N} \quad (\Delta := \partial_i \partial^i)$$

(Interpretar dichas ecuaciones. Observad que son  
¡completamente equivalentes a la ecuación de Schrödinger!!)

## El campo electromagnético:

Consideremos  $\mathcal{L} = -\frac{1}{4} F_{\mu\nu} F^{\mu\nu} - J^\mu A_\mu$ , con

$$F_{\mu\nu} = \partial_\mu A_\nu - \partial_\nu A_\mu \quad \text{y} \quad J^\mu = (\rho, j^i).$$

La acción de Maxwell es

$$S = \int_M d^4x \left( -\frac{1}{4} F_{\mu\nu} F^{\mu\nu} - J^\mu A_\mu \right)$$

$$\delta S = \int_M d^4x \left( -\frac{1}{4} (\delta F_{\mu\nu}) F^{\mu\nu} - \frac{1}{4} F_{\mu\nu} (\delta F^{\mu\nu}) - J^\mu \delta A_\mu \right)$$

$$a) \quad -\frac{1}{4} (\delta F_{\mu\nu}) F^{\mu\nu} = -\frac{1}{4} (\partial_\mu \delta A_\nu - \partial_\nu \delta A_\mu) F^{\mu\nu} \stackrel{*}{=}$$

pero  $\partial_\nu (\delta A_\mu F^{\mu\nu}) = \partial_\nu \delta A_\mu F^{\mu\nu} + \delta A_\mu \partial_\nu F^{\mu\nu}$

$$\partial_\mu (\delta A_\nu F^{\mu\nu}) = \partial_\mu \delta A_\nu F^{\mu\nu} + \delta A_\nu \partial_\mu F^{\mu\nu}$$

$$\stackrel{*}{=} -\frac{1}{4} \left( \underbrace{\partial_\mu (\delta A_\nu F^{\mu\nu})}_{(1)} - \delta A_\nu \partial_\mu F^{\mu\nu} - \underbrace{\partial_\nu (\delta A_\mu F^{\mu\nu})}_{(2)} + \delta A_\mu \partial_\nu F^{\mu\nu} \right)$$

1a) y 2a) se van a anular al integrar. Son derivadas totales. Stokes.  $\delta A_\nu = 0$  en fronteras.

Quedará

$$1a) = \frac{1}{4} ( \partial_\mu F^{\mu\nu} \delta A_\nu - \partial_\nu F^{\mu\nu} \delta A_\mu )$$

$$= \frac{1}{4} ( \partial_\mu F^{\mu\nu} \delta A_\nu - \partial_\mu F^{\nu\mu} \delta A_\nu ) \quad (F^{\mu\nu} = -F^{\nu\mu})$$

$$= \frac{1}{4} ( \partial_\mu F^{\mu\nu} \delta A_\nu + \partial_\mu F^{\mu\nu} \delta A_\nu )$$

$$= \frac{1}{2} \partial_\mu F^{\mu\nu} \delta A_\nu = -\frac{1}{4} ( \delta F_{\mu\nu} ) F^{\mu\nu}$$

$$b) -\frac{1}{4} F_{\mu\nu} \delta F^{\mu\nu} =$$

$$= -\frac{1}{4} F_{\mu\nu} \delta ( \partial^\mu A^\nu - \partial^\nu A^\mu ) =$$

$$= -\frac{1}{4} F_{\mu\nu} ( \partial^\mu \delta A^\nu - \partial^\nu \delta A^\mu )$$

= ... = mismo caso que a) pero hay que bajar índices

$$= \frac{1}{2} (\partial_\mu F^{\mu\nu}) \delta A_\nu$$

Finalmente, escribimos

$$\delta S = \int d^4x \left( \frac{1}{2} \partial_\mu F^{\mu\nu} \delta A_\nu + \frac{1}{2} \partial_\mu F^{\mu\nu} \delta A_\nu - J^\mu \delta A_\mu \right)$$

$$= \int d^4x \left( \partial_\mu F^{\mu\nu} - J^\nu \right) \delta A_\nu = 0$$

+  
0

(es arbitraria)

$$\Rightarrow \boxed{\partial_\mu F^{\mu\nu} = J^\nu} \quad (\text{Gauss}^{(E)} + \text{Ampère})$$

Además,  $F_{\mu\nu}$  satisface una identidad de Bianchi:

$$\boxed{\partial^\lambda F^{\mu\nu} + \partial^\mu F^{\nu\lambda} + \partial^\nu F^{\lambda\mu} = 0}$$

(Gauss<sup>(B)</sup> + Faraday)



## Simetrías y Leyes de conservación

↳ Cambio en la "visión" de las ecuaciones que las deja invariantes.

- simetrías externas: traslación, tiempo, rotación

- simetrías internas: cambios en los campos que no involucran cambios con respecto al espacio-tiempo.

Consideremos que las coord. espaciotemporales varían según:

$$x^{\mu} \rightarrow x^{\mu} + a^{\mu} \quad (a^{\mu} \text{ pequeño y arbitrario})$$

Series de Taylor:

$$\psi(x) \rightarrow \psi(x+a) = \psi(x) + a^{\mu} \partial_{\mu} \psi$$

Bajo una pequeña perturbación,  $\psi \rightarrow \psi + \delta\psi$

luego  $\delta\varphi = a^\mu \partial_\mu \varphi$

si  $\mathcal{L} = \mathcal{L}(\varphi, \partial_\mu \varphi)$ , tenemos

$$\delta\mathcal{L} = \frac{\partial\mathcal{L}}{\partial\varphi} \delta\varphi + \frac{\partial\mathcal{L}}{\partial(\partial_\mu\varphi)} \delta(\partial_\mu\varphi)$$

sabemos que

$$\frac{\partial\mathcal{L}}{\partial\varphi} = \partial_\mu \left( \frac{\partial\mathcal{L}}{\partial(\partial_\mu\varphi)} \right), \text{ luego}$$

$$\begin{aligned} \delta\mathcal{L} &= \partial_\mu \left( \frac{\partial\mathcal{L}}{\partial(\partial_\mu\varphi)} \right) \delta\varphi + \frac{\partial\mathcal{L}}{\partial(\partial_\mu\varphi)} \delta(\partial_\mu\varphi) \\ &= \partial_\mu \left( \frac{\partial\mathcal{L}}{\partial(\partial_\mu\varphi)} \right) \delta\varphi + \frac{\partial\mathcal{L}}{\partial(\partial_\mu\varphi)} \partial_\mu(\delta\varphi) \end{aligned}$$

si hacemos  $u = \frac{\partial\mathcal{L}}{\partial(\partial_\mu\varphi)}$   $v = \delta\varphi$

$(uv)' = u'v + v'u$ , queda

$$\delta\mathcal{L} = (uv)' = \partial_\mu \left( \frac{\partial\mathcal{L}}{\partial(\partial_\mu\varphi)} \delta\varphi \right)$$

• bien 
$$\delta \mathcal{L} = \partial_\mu \left( \frac{\partial \mathcal{L}}{\partial (\partial_\mu \varphi)} \partial_\nu \varphi \right) a^\nu$$

También podemos escribir

$$\delta \mathcal{L} = \partial_\mu (\mathcal{L}) a^\mu = \delta^\mu_\nu \partial_\mu (\mathcal{L}) a^\nu$$

(considerando cómo varía respecto a  $(x^\mu \rightarrow x^\mu + a^\mu)$ )

Igualando ambas expresiones:

$$\delta \mathcal{L} = \delta^\mu_\nu \partial_\mu (\mathcal{L}) a^\nu = \partial_\mu \left( \frac{\partial \mathcal{L}}{\partial (\partial_\mu \varphi)} \partial_\nu \varphi \right) a^\nu$$

$$\Rightarrow \partial_\mu \left[ \frac{\partial \mathcal{L}}{\partial (\partial_\mu \varphi)} \partial_\nu \varphi - \delta^\mu_\nu \mathcal{L} \right] a^\nu = 0$$

↓  
arbitrario

$$\Rightarrow \boxed{\partial_\mu T^\mu_\nu = 0}, \text{ con}$$

$$\boxed{T^\mu_\nu = \frac{\partial \mathcal{L}}{\partial (\partial_\mu \varphi)} \partial_\nu \varphi - \delta^\mu_\nu \mathcal{L}}$$

Tenemos energía-momento y su conservación!

$$T^0_0 = \frac{\partial \mathcal{L}}{\partial \dot{\varphi}} \dot{\varphi} - \mathcal{L} = \mathcal{H} \text{ (densidad Hamiltoniana)}$$

luego  $\partial_0 T^0_0 = 0 \rightarrow$  conservación energía

$$T^0_i = p_i \text{ (densidad de momento)}$$

$$P_i = \int d^3x p_i = \int d^3x T^0_i$$

Corrientes conservadas:

Hagamos  $\varphi \rightarrow \varphi + \delta\varphi$

Consideremos que, bajo esta variación,  $\mathcal{L}$  no va a variar. Esto es,

$$\mathcal{L} \rightarrow \mathcal{L} + \delta\mathcal{L} \quad \text{con} \quad \delta\mathcal{L} = 0.$$

$$\text{pero} \quad \delta\mathcal{L} = \frac{\partial \mathcal{L}}{\partial \varphi} \delta\varphi + \frac{\partial \mathcal{L}}{\partial (\partial_\mu \varphi)} \partial_\mu (\delta\varphi)$$

$$\text{como} \quad \frac{\partial \mathcal{L}}{\partial \varphi} = \partial_\mu \left( \frac{\partial \mathcal{L}}{\partial (\partial_\mu \varphi)} \right), \text{ queda}$$

$$\delta \mathcal{L} = \partial_\mu \left( \frac{\partial \mathcal{L}}{\partial (\partial_\mu \varphi)} \right) \delta \varphi + \frac{\partial \mathcal{L}}{\partial (\partial_\mu \varphi)} \partial_\mu (\delta \varphi)$$

$$= \partial_\mu \left[ \frac{\partial \mathcal{L}}{\partial (\partial_\mu \varphi)} \delta \varphi \right] = 0$$

$$\Rightarrow \quad \boxed{J^\mu = \frac{\partial \mathcal{L}}{\partial (\partial_\mu \varphi)} \delta \varphi} \quad \text{es una}$$

corriente conservada

$$\boxed{\partial_\mu J^\mu = 0}$$

Asociada a cada corriente conservada, hay una carga conservada,

$$Q = \int d^3x J^0.$$

(en y momento son cargas conservadas debido a invariancia bajo transformaciones espacio-temporales).



Ejercicio: considerad un campo escalar complejo.

$$\mathcal{L} = \partial_\mu \varphi^* \partial^\mu \varphi - m^2 \varphi^* \varphi$$

Reducid y comprobad:

$$(\square + m^2) \varphi = 0$$

$$(\square + m^2) \varphi^* = 0$$

$$\pi = \varphi_{,t}^* \quad \pi^* = \varphi_{,t}$$

$$\mathcal{H} = \pi^* \pi + (\nabla \varphi^*) (\nabla \varphi) + m^2 \varphi^* \varphi$$

$$T_{\mu\nu} = \partial_\mu \varphi^* \partial_\nu \varphi + \partial_\mu \varphi \partial_\nu \varphi^* - g_{\mu\nu} \mathcal{L}$$

$$p_i = \int d^3x (\varphi_{,t}^* \partial^i \varphi + \varphi_{,t} \partial^i \varphi^*)$$

$$p_0 = \int d^3x \mathcal{H} \quad (\geq 0)$$

$$J^\mu = -i (\varphi \varphi^{*,\mu} - \varphi^* \varphi^{,\mu})$$

$$Q = \int d^3x J^0 = i \int (\varphi^* \varphi_{,t} - \varphi \varphi_{,t}^*) d^3x$$

## Transformaciones gauge

La idea viene del electromagnetismo.  
Sabemos que las ecuaciones de Maxwell  
quedan invariantes si hacemos

$$\vec{A} \rightarrow \vec{A} + \vec{\nabla}\psi$$

$$\phi \rightarrow \phi - \frac{\partial \psi}{\partial t}$$

En Teoría de campos tenemos una noción  
similar. Vedámoslo con un ejemplo:

$$\mathcal{L} = \partial_\mu \varphi^\dagger \partial^\mu \varphi - m^2 \varphi^\dagger \varphi$$

Sea  $U$  una transformación unitaria tal que  
NO depende de  $x^\mu$ .

$$\varphi \rightarrow U\varphi$$

$$\varphi^\dagger \rightarrow \varphi^\dagger U^\dagger$$

(unitaria,  $UU^\dagger = U^\dagger U = \mathbb{1}$ )

Veamos qué le ocurre a  $\mathcal{L}$  bajo esta transformación.

$$\partial_\mu \psi + \partial_\mu \psi \rightarrow \partial_\mu (\psi^\dagger V^\dagger) \partial^\mu (V \psi)$$

$$= \partial_\mu (\psi^\dagger) (V^\dagger V) \partial^\mu (\psi) = \partial_\mu \psi^\dagger \partial^\mu \psi$$

$$m^2 \psi^\dagger \psi \rightarrow m^2 (\psi^\dagger V^\dagger) (V \psi) = m^2 \psi^\dagger (V^\dagger V) \psi \\ = m^2 \psi^\dagger \psi$$

Entonces,  $\mathcal{L}$  es invariante bajo  $\psi \rightarrow V\psi$ .

Como  $V$  es una constante (no depende de  $x^\mu$ ), la escribimos como

$$V = e^{i\Lambda} \rightarrow \text{constante}$$

(nota: en algunos casos  $\Lambda$  será una matriz hermitica)

¿ Qué sucede si ahora consideramos una transformación gauge local?

de nuevo

$$m^2 \psi^\dagger \psi \rightarrow m^2 \psi^\dagger U^\dagger(x) U(x) \psi = m^2 \psi^\dagger \psi$$

pero

$$\partial_\mu \psi^\dagger \rightarrow \partial_\mu (\psi^\dagger U^\dagger) = (\partial_\mu \psi^\dagger) U^\dagger + \psi^\dagger \partial_\mu (U^\dagger)$$

$$\partial_\mu \psi \rightarrow \partial_\mu (U \psi) = (\partial_\mu U) \psi + U \partial_\mu \psi$$

$$= U U^\dagger (\partial_\mu U) \psi + U \partial_\mu \psi$$

$$= U \left[ \partial_\mu \psi + \underbrace{(U^\dagger \partial_\mu U) \psi}_{\text{término a la que quiero eliminar}} \right]$$

término a la que  
quiero eliminar

La idea es:

→ con tr. gauge globales tenemos

$$\partial_\mu \psi \rightarrow U \partial_\mu \psi$$

→ con tr. gauge locales, queremos tener

$$\partial_\mu \psi \rightarrow U(x) D_\mu \psi$$

donde  $D_\mu$  es cierta nueva derivada que necesitamos introducir.

Resulta que, si definimos la derivada covariante

$$D_\mu \psi = \partial_\mu \psi - i A_\mu \psi, \text{ donde } A_\mu(x) \text{ es el}$$

llamado potencial gauge, que satisface la  
regla de transformación

$$A_\mu \rightarrow V A_\mu V^\dagger + i V \partial_\mu V^\dagger, \text{ entonces}$$

$\mathcal{L}$  será invariante bajo  $V(x)$ .

Moraleja: ¡¡para mantener invariancia gauge local,  
le agregamos un nuevo campo,  $A_\mu$ !!

(Comentario derivadas covariantes).



## TEMA 13. TEORÍA DE GRUPOS.

TA grupos relacionado con simetría.

La idea es que las Leyes de la Física mantienen la misma forma matemática bajo ciertas transformaciones.

Grupo  $G = \{a, b, c\}$  es un conjunto de elementos que admite una multiplicación (o regla de composición) t.q.  $a \in G$  y  $b \in G \Rightarrow ab \in G$ .

Si  $ab = ba$ ,  $G$  es abeliano

Si  $ab \neq ba$ ,  $G$  es no abeliano

(Esta multiplicación es en sentido abstracto, la implementación de dicha operación puede variar de grupo a grupo).

### Axiomas de grupo

i) Asociatividad :  $(ab)c = a(bc)$

ii) Elemento identidad :  $ae = ea = a$  (es único)

iii) " inverso :  $\forall a \in G \exists a^{-1}$  t.q.

$$aa^{-1} = a^{-1}a = e$$

iv) El orden del grupo es el nº elementos que pertenecen a  $G$ .

## Representación de un grupo

Una representación,  $F$ , es una aplicación que lleva elementos del grupo  $g \in G$  a operadores lineales,  $F$ , que preservan la regla de composición de  $G$ :

$$F(a)F(b) = F(ab)$$

$$F(e) = I$$

Supongamos que  $a, b \in G$  y  $f \in H$  donde  $H$  es otro grupo. Si se satisface

$f(a)f(b) = f(ab)$ , diremos que  $G$  es homeomorfo a  $H$ . (Vamos, que tienen una estructura similar).

Ejemplos:  $(\mathbb{Z}, +)$  forma un grupo pero

$(\mathbb{Z}, \times)$  no lo forma. ( $1/2$  no es un entero)

## Parámetros de grupo

Igual que  $y = f(x)$  y decimos que  $x$  es el "input", un grupo puede ser función de varios "inputs" que llamamos parámetros.

Sea  $G$  con  $g \in G$  tal que  $g$  está  
especificado por un conjunto finito de parámetros  
(digamos  $n$  parámetros). Si este conjunto de  
parámetros es  $\{\theta_1, \theta_2, \dots, \theta_n\}$ , el elemento del  
grupo es  $g = G(\theta_1, \theta_2, \dots, \theta_n)$ . La identidad  
es  $e = G(0, 0, \dots, 0)$ .

Vamos a estudiar brevemente unos grupos muy  
importantes para la Física.

### Grupos de Lie

Hay grupos discretos con un nº finito de elementos  
pero la mayoría que consideraremos tendrán un  
número infinito. Pero tendrán un nº finito  
de parámetros que varían de forma continua.

Si un grupo

a) depende de un conjunto finito de parámetros  
continuos,  $\theta_i$

b)  $\exists$  las derivadas de los elementos del grupo  
con respecto a todos los parámetros, entonces  
es un grupo de Lie.

Sea un grupo con un solo parámetro,  $\theta$ .

$$g(\theta)|_{\theta=0} = e \text{ (identidad)}$$

Los generadores del grupo se obtendrán así:

$$X = \left. \frac{\partial g}{\partial \theta} \right|_{\theta=0} \quad (X \text{ es un generador})$$

Si el grupo es  $n$ -paramétrico, tendremos  $n$  generadores

$$X_i = \left. \frac{\partial g}{\partial \theta_i} \right|_{\theta_i} = 0.$$

Para algunos  $\theta$  finitos, los generadores nos permiten definir una representación del grupo,  $D$ , de la forma

$$D(\theta) = \lim_{n \rightarrow \infty} \left( 1 + \frac{\theta X}{n} \right)^n = e^{i\theta X}$$

Si  $X$  es hermitico,

$$X_i = -i \left. \frac{\partial g}{\partial \theta_i} \right|_{\theta_i} = 0$$



3  $X = X^\dagger$ . Además, las representaciones del grupo son unitarias:

$$D^\dagger(\theta) = (e^{i\theta X})^\dagger = e^{-i\theta X^\dagger} = e^{-i\theta X}$$

$$\Rightarrow D^\dagger(\theta) D(\theta) = (e^{-i\theta X})(e^{i\theta X}) = 1.$$

Los generadores de un grupo forman un espacio vectorial. Un espacio vectorial completo puede ser usado como base para representar otros espacios vectoriales (p.ej., las matrices de Pauli sirven para describir cualquier matriz  $2 \times 2$ ).

Los generadores satisfacen una relación de conmutación

$$\boxed{[X_i, X_j] = i \underbrace{f_{ijk}}_{\text{constantes de estructura del grupo}} X_k}$$

↳ Esto es el álgebra de Lie del grupo

(recuerda el momento angular o matrices de Pauli en Mecánica Cuántica).

En lo que sigue vamos a centrarnos únicamente en unos grupos especiales.



Observación: además de estructura de grupo, los grupos de Lie tienen estructura de variedad diferenciable.

### Grupos unitarios

Juegan un papel importante en física de partículas porque también lo hacen en mecánica cuántica.

Observación: los operadores unitarios conservan el producto interno  $\Rightarrow$  probabilidades entre estados no se ven afectadas por una transformación unitaria

$U(N)$ : conjunto de matrices unitarias  $N \times N$

$\hookrightarrow$  grupo unitario

$SU(N)$ : conjunto de matrices unitarias  $N \times N$  con

$\det = +1$ .

$\hookrightarrow$  grupo especial unitario

Observación:  $\dim[SU(N)] = N^2 - 1$   $\nearrow$   $3 (2^0, N^{\pm})$  portadores int. débil.

agrupamiento de partículas en dobletes o tripletes

$SU(2)$	tiene	$2^2 - 1 = 3$ generadores
$SU(3)$	tiene	$3^2 - 1 = 8$ generadores
$U(1)$	"	1 generador

ej:  $\begin{pmatrix} e \\ \nu_e \end{pmatrix} \begin{pmatrix} u \\ d \end{pmatrix}$  fotón (int. em.) - 154 -

$\hookrightarrow$  8 gluones portadores interacción fuerte.

Observación: al igual que discutimos con el isospin, el  $e^-$  y el  $\nu_e$  se pueden intercambiar (son indistinguibles) en lo concerniente a interacciones débiles.

(Observación experimental?  $\rightarrow$  agrupamiento  $\rightarrow$  simetría?)

Comentarios sobre  $V(1)$ :

Una matriz " $1 \times 1$ " es un número complejo que vamos a escribir en forma polar.

•  $V(1)$  tiene un único parámetro,  $\theta$  y una simetría  $V(1)$  tiene la forma

$$V = e^{-i\theta} \quad (\theta \in \mathbb{R})$$

•  $V(1)$  es abeliano:

$$\begin{aligned} V_1 V_2 &= e^{-i\theta_1} e^{-i\theta_2} = e^{-i\theta_2} e^{-i\theta_1} = V_2 V_1 \\ &= e^{-i(\theta_1 + \theta_2)} = e^{-i(\theta_2 + \theta_1)} \end{aligned}$$

•  $\mathcal{L} = \partial_\mu \varphi^* \partial^\mu \varphi - m^2 \varphi^* \varphi$  es  $V(1)$  invariante.

Es decir, la transformación

$$\psi \rightarrow e^{-i\theta} \psi$$

deja a  $\mathcal{L}$  invariante.

• Observación: los portadores de las interacciones fundamentales (bosones gauge), se van a asociar a simetrías unitarias. (Por ejemplo,  $U(1) \leftrightarrow$  fotón).

Resumiendo,  $U = e^{-i\theta} = S^1$  (círculo unitario)

Comentarios sobre  $SU(2)$ :

El siguiente grupo unitario no trivial es  $U(2)$   
(conjunto de los matrices  $2 \times 2$ ).

Unitarios:  $UU^\dagger = U^\dagger U = I$

En Física, estamos interesados en un subgrupo de  $U(2)$ :  $SU(2)$  (matrices unitarias  $2 \times 2$  con  $\det = +1$ ).

Los generadores de SU(2) son las matrices de Pauli:

$$\sigma_1 = \begin{pmatrix} 0 & 1 \\ 1 & 0 \end{pmatrix} \quad \sigma_2 = \begin{pmatrix} 0 & -i \\ i & 0 \end{pmatrix} \quad \sigma_3 = \begin{pmatrix} 1 & 0 \\ 0 & -1 \end{pmatrix}$$

Satisfacen los siguientes reglas de conmutación:

$$[\sigma_j, \sigma_k] = 2i \epsilon_{jkl} \sigma_l$$

↳ símbolo completamente  
antisimétrico de Levi-Civita.

En tres dimensiones

$$\epsilon_{ijk} = \begin{cases} +1 & (1,2,3), (2,3,1) \text{ o } (3,1,2) \\ -1 & (3,2,1), (1,3,2) \text{ o } (2,1,3) \\ 0 & i=j \text{ o } j=k \text{ o } k=i \end{cases}$$

Como todos las matrices unitarias  $2 \times 2$  están especificados por dos parámetros complejos,  $a$  y  $b$ , escribimos

$$U = \begin{pmatrix} a & b \\ -b^* & a^* \end{pmatrix}.$$

Para SU(2),  $\det U = +1 \Rightarrow |a|^2 + |b|^2 = 1$ .



debido a lo anterior, tenemos la siguiente  
observación :  $SU(2) = S^3$ .

Además, un elemento de  $SU(2)$  se va a escribir  
como  $U = e^{i\sigma_j \alpha_j / 2}$ , donde  $\sigma_j$  es una de

las matrices de Pauli y  $\alpha_j$  es un número.

Comentarios sobre  $SU(3)$ :

Va a ser importante en el estudio de quarks  
y QCD.

Como ya dejamos, tiene 8 generadores :

las matrices de Gell-Mann

$$\lambda_1 = \begin{pmatrix} 0 & 1 & 0 \\ 1 & 0 & 0 \\ 0 & 0 & 0 \end{pmatrix} \quad \lambda_2 = \begin{pmatrix} 0 & -i & 0 \\ i & 0 & 0 \\ 0 & 0 & 0 \end{pmatrix}$$

$$\lambda_3 = \begin{pmatrix} 1 & 0 & 0 \\ 0 & -1 & 0 \\ 0 & 0 & 0 \end{pmatrix} \quad \lambda_4 = \begin{pmatrix} 0 & 0 & 1 \\ 0 & 0 & 0 \\ 1 & 0 & 0 \end{pmatrix}$$



$$\lambda_5 = \begin{pmatrix} 0 & 0 & -i \\ 0 & 0 & 0 \\ i & 0 & 0 \end{pmatrix} \quad \lambda_6 = \begin{pmatrix} 0 & 0 & 0 \\ 0 & 0 & 1 \\ 0 & 1 & 0 \end{pmatrix}$$

$$\lambda_7 = \begin{pmatrix} 0 & 0 & 0 \\ 0 & 0 & -i \\ 0 & i & 0 \end{pmatrix} \quad \lambda_8 = \frac{1}{\sqrt{3}} \begin{pmatrix} 1 & 0 & 0 \\ 0 & 1 & 0 \\ 0 & 0 & -2 \end{pmatrix}$$

Satisfont les règles de commutation

$$[\lambda_i, \lambda_j] = 2i f_{ijk} \lambda_k \quad \text{con}$$

$$f_{123} = 1 \quad f_{147} = f_{165} = f_{246} = f_{257} = f_{345} = f_{326} = \frac{1}{2}$$

$$f_{478} = f_{678} = \frac{\sqrt{3}}{2}$$

• Observation : géométriquement se tiene

$$SU(3) \xrightarrow{S^3 \text{ fibres}} S^5 \xrightarrow{\hookrightarrow \text{base}}$$

$$\begin{pmatrix} \dim(SU(3)) = 8 \\ \dim(SU(2)) = 3 \\ \dim(U(1)) = 1 \end{pmatrix}$$

## Cuantización del campo escalar real:

Comencemos con la ecuación de Klein-Gordon para un campo escalar masivo:

$$\begin{aligned}(\square + m^2)\varphi &= (\partial_\mu \partial^\mu + m^2)\varphi = \\ &= (\partial_t^2 - \Delta + m^2)\varphi = 0.\end{aligned}$$

Las soluciones son del tipo ondas planas:

$$\varphi(x, t) \sim e^{-i(Et - \vec{p} \cdot \vec{x})}$$

$$\begin{aligned}\text{denotemos } E &\rightarrow \hbar\omega = \omega_{\vec{k}} \\ \vec{p} &\rightarrow \hbar\vec{k}\end{aligned}$$

$$\begin{aligned}\varphi(x) &\sim e^{-i(\omega_{\vec{k}}x^0 - \vec{k} \cdot \vec{x})} \\ &\hookrightarrow \varphi(x^\mu)\end{aligned}$$

Escribamos la solución general en términos de un desarrollo de Fourier:

$$\varphi(x) = \int \frac{d^3k}{(2\pi)^{3/2} \sqrt{2\omega_{\vec{k}}}} \left[ \varphi(\vec{k}) e^{-i(\omega_{\vec{k}}x^0 - \vec{k} \cdot \vec{x})} + \varphi^*(\vec{k}) e^{i(\omega_{\vec{k}}x^0 - \vec{k} \cdot \vec{x})} \right]$$

Protocolo de cuantización:

$$\varphi(\vec{k}) \rightarrow \hat{a}(\vec{k})$$

$$\varphi^*(\vec{k}) \rightarrow \hat{a}^\dagger(\vec{k})$$

campo  $\rightarrow$  operadores asociados a cada modo

De esta forma, hacemos  $\varphi(x) \rightarrow \hat{\varphi}(x)$ :

$$\hat{\varphi}(x) = \int \frac{d^3k}{(2\pi)^{3/2} \sqrt{2\omega_k}} \left[ \hat{a}(\vec{k}) e^{-i(\omega_k x^0 - \vec{k} \cdot \vec{x})} + \hat{a}^\dagger(\vec{k}) e^{i(\omega_k x^0 - \vec{k} \cdot \vec{x})} \right]$$

Recordemos que  $\mathcal{L} = \frac{1}{2} \partial_\mu \varphi \partial^\mu \varphi - \frac{1}{2} m^2 \varphi^2$

$$\text{y } \pi(x) = \frac{\partial \mathcal{L}}{\partial (\partial_0 \varphi)} = \partial_0 \varphi$$

Por lo tanto, el momento conjugado a

$\hat{\varphi}(x)$ ,  $\hat{\pi}(x)$ , será:

$$\begin{aligned} \hat{\pi}(x) &= -i \int \frac{d^3k}{(2\pi)^{3/2}} \sqrt{\frac{\omega_k}{2}} \left[ \hat{a}(\vec{k}) e^{-i(\omega_k x^0 - \vec{k} \cdot \vec{x})} \right. \\ &\quad \left. - \hat{a}^\dagger(\vec{k}) e^{i(\omega_k x^0 - \vec{k} \cdot \vec{x})} \right] \end{aligned}$$

Recordemos que, en Mecánica Cuántica no relativista  
y, si consideramos coordenadas cartesianas:

$$[x_i, p_j] = i\delta_{ij}$$

$$[x_i, x_j] = [p_i, p_j] = 0.$$

Ahora vamos a hacer el cambio

$$\delta_{ij} \rightarrow \delta(\vec{x} - \vec{y})$$

y consideraremos conmutadores entre los campos,  
evaluados en el mismo tiempo.

Supongamos

$$[\hat{\psi}(x), \hat{\pi}(y)] = i\delta(\vec{x} - \vec{y})$$

$$[\hat{\psi}(x), \hat{\psi}(y)] = [\hat{\pi}(x), \hat{\pi}(y)] = 0.$$

Ejercicio ( sencillo ) (ojo, diferente normaliza-  
ción para  $\vec{x}$ ).

Supongamos

$$\psi(x) = \int \frac{d^3p}{\sqrt{(2\pi)^3 2p_0}} [a(\vec{p})e^{ipx} + a^\dagger(\vec{p})e^{-ipx}]$$

donde  $p^\alpha = (p^0, p^i)$  y

$$p^\alpha = p_\alpha x^\alpha = \{ \eta_\alpha p^\alpha x^\beta = \\ = p^0 x^0 - p_i x^i$$

Calculad  $[\psi(x), \pi(y)]$  con  $x^0 = y^0$ .  
Obtened<sup>(\*)</sup> las siguientes relaciones de  
conmutación para  $a$  y  $a^\dagger$ :

$$[a(\vec{p}), a^\dagger(\vec{p}')] = \delta(\vec{p} - \vec{p}')$$

$$[a(\vec{p}), a(\vec{p}')] = [a^\dagger(\vec{p}), a^\dagger(\vec{p}')] = 0$$

(\*) suponiendo las anteriores relaciones de  
conmutación para  $\hat{\phi}(x)$  y  $\hat{\pi}(x)$ .

Heamos obtenido relaciones de conmutación  
de un conjunto infinito de osciladores  
armónicos. ¿Por qué?



$$(\Delta + m^2)\psi = 0$$

$$\psi(\vec{x}, t) = \int \frac{d^3\vec{p}}{(2\pi)^3} e^{i\vec{p}\cdot\vec{x}} \varphi(\vec{p}, t)$$

Entonces (ejercicio),  $\varphi(\vec{p}, t)$  satisface

$$\left[ \partial_t^2 + (\vec{p}^2 + m^2) \right] \varphi(\vec{p}, t) = 0,$$

que es la ecuación de oscilador armónico con  $\omega_{\vec{p}} = +\sqrt{\vec{p}^2 + m^2}$

Vamos a hablar ahora de

### Estados en QFT:

¿Cómo actúan los operadores de campo sobre los estados del sistema?

Comencemos por el estado de vacío,  $|0\rangle$ .

El vacío es aniquilado por operador destrucción:

$$\hat{a}(\vec{k})|0\rangle = 0$$

Podemos saltar de  $|0\rangle$  a  $|\vec{k}\rangle$   
(estado con momento  $\vec{p}$  o n.º de onda  $\vec{k}$ )  
mediante

$$|\vec{k}\rangle = \hat{a}^\dagger(\vec{k})|0\rangle$$

↳ describe estado de una partícula

Para un estado de dos partículas:

$$|\vec{k}_1, \vec{k}_2\rangle = \hat{a}^\dagger(\vec{k}_1)\hat{a}^\dagger(\vec{k}_2)|0\rangle$$

y, en general:

$$|\vec{k}_1, \vec{k}_2, \dots, \vec{k}_n\rangle = \hat{a}^\dagger(\vec{k}_1)\hat{a}^\dagger(\vec{k}_2) \dots \hat{a}^\dagger(\vec{k}_n)|0\rangle$$

Cada operador de creación crea una partícula con momento  $\hbar\vec{k}_i$  y energía

$$\hbar \omega_{\vec{k}_i}, \text{ donde } \omega_{\vec{k}_i} = \sqrt{\vec{k}_i^2 + m^2}$$

De forma análoga,  $\hat{a}(\vec{k}_i)$  destruye una partícula con el mismo momento y energía.

### Descomposición del campo

Definimos la parte del campo con frecuencia positiva como aquella que contiene operadores de destrucción:

$$\hat{\psi}^+(x) = \int \frac{d^3 k}{(2\pi)^{3/2} \sqrt{2\omega_k}} \hat{a}(\vec{k}) e^{-i(\omega_k x^0 - \vec{k} \cdot \vec{x})}$$

De forma equivalente, la parte con frecuencia negativa es

$$\hat{\psi}^-(x) = \int \frac{d^3 k}{(2\pi)^{3/2} \sqrt{2\omega_k}} \hat{a}^\dagger(\vec{k}) e^{i(\omega_k x^0 - \vec{k} \cdot \vec{x})}$$

La interpretación es: la parte positiva aniquila  
el vacío:

$$\hat{\psi}^+(x) |0\rangle = 0$$

y la parte negativa crea partículas:

$$\hat{\psi}^-(x) |0\rangle = \int \frac{d^3k}{(2\pi)^{3/2} \sqrt{2\omega_k}} e^{i(\omega_k x^0 - \vec{k} \cdot \vec{x})} \hat{a}^\dagger(\vec{k}) |0\rangle$$

$$= \int \frac{d^3k}{(2\pi)^{3/2} \sqrt{2\omega_k}} e^{i(\omega_k x^0 - \vec{k} \cdot \vec{x})} |\vec{k}\rangle$$

### Operadores números

Refinamos el operador

$$\hat{n}(\vec{k}) = \hat{a}^\dagger(\vec{k}) \hat{a}(\vec{k})$$

↪ sus autovalores son los números de ocupación

son enteros:  $n(\vec{k}) = 0, 1, 2, \dots$  que nos

informan cuántas partículas con momento  $\vec{k}$   
hay en cada estado.

Ejemplos:

$$\cdot |\vec{k}_1, \vec{k}_2, \dots, \vec{k}_n\rangle = \hat{a}^\dagger(\vec{k}_1) \hat{a}^\dagger(\vec{k}_2) \dots \hat{a}^\dagger(\vec{k}_n) |0\rangle$$

contiene  $n$  partículas: una con momento  $\vec{k}_1$ ,  
otra con  $\vec{k}_2, \dots$

• Estado con dos partículas con momento  $\vec{k}_1$   
y una con momento  $\vec{k}_2$ :

$$|\vec{k}_1, \vec{k}_1, \vec{k}_2\rangle = \frac{\hat{a}^\dagger(\vec{k}_1) \hat{a}^\dagger(\vec{k}_1) \hat{a}^\dagger(\vec{k}_2)}{\sqrt{2}} |0\rangle$$

$$= \underbrace{|n(\vec{k}_1)|}_2 \underbrace{|n(\vec{k}_2)|}_1$$

o bien

$$|n(\vec{k}_1) n(\vec{k}_2)\rangle = \frac{\hat{a}^\dagger(\vec{k}_1)^{n(\vec{k}_1)}}{\sqrt{n(\vec{k}_1)!}} \frac{\hat{a}^\dagger(\vec{k}_2)^{n(\vec{k}_2)}}{\sqrt{n(\vec{k}_2)!}} |0\rangle$$



En general,

$$\underbrace{|n(\vec{k}_1) n(\vec{k}_2) \dots n(\vec{k}_m)\rangle = \prod_j \frac{\hat{a}^\dagger(\vec{k}_j)^{n(\vec{k}_j)}}{\sqrt{n(\vec{k}_j)!}} |0\rangle}$$

proporciona la densidad de número en realidad

$$\rightarrow \hat{N}(\vec{k}) = \hat{a}^\dagger(\vec{k}) \hat{a}(\vec{k})$$

El número total de partículas será

$$N = \int d^3k \hat{a}^\dagger(\vec{k}) \hat{a}(\vec{k})$$

Ejemplo (señillo)

$$\hat{N} |\vec{k}'\rangle = ?$$

$$|\vec{k}'\rangle = \hat{a}^\dagger(\vec{k}') |0\rangle$$

$$[\hat{a}(\vec{k}), \hat{a}^\dagger(\vec{k}')] = \hat{a}(\vec{k}) \hat{a}^\dagger(\vec{k}') - \hat{a}^\dagger(\vec{k}') \hat{a}(\vec{k}) = \delta(\vec{k} - \vec{k}')$$

$$\hat{a}^\dagger(\vec{k}) \hat{a}(\vec{k}) |\vec{k}'\rangle = \hat{a}^\dagger(\vec{k}) \hat{a}(\vec{k}) \hat{a}^\dagger(\vec{k}') |0\rangle$$

$$= \hat{a}^\dagger(\vec{k}) \underbrace{[\hat{a}^\dagger(\vec{k}') \hat{a}(\vec{k}) + \delta(\vec{k} - \vec{k}')] }_{=0} |0\rangle$$

$$= \hat{a}^\dagger(\vec{k}) \delta(\vec{k} - \vec{k}') |0\rangle$$

$$= \delta(\vec{k} - \vec{k}') \hat{a}^\dagger(\vec{k}) |0\rangle$$

$$\hat{N}|\vec{k}'\rangle = \int d^3k \hat{a}^\dagger(\vec{k}) \hat{a}(\vec{k}) |\vec{k}'\rangle$$

$$= \int d^3k \delta(\vec{k} - \vec{k}') \hat{a}^\dagger(\vec{k}) |0\rangle$$

$$= \hat{a}^\dagger(\vec{k}') |0\rangle = |\vec{k}'\rangle$$

$$\Rightarrow n(\vec{k}') = 1.$$

¿Qué sucede con la normalización de estados?

Considerando  $\langle 0|0\rangle = 1$ , probar que

$$\langle \vec{k} | \vec{k}' \rangle = \delta(\vec{k} - \vec{k}').$$

$$\hat{a}^\dagger(\vec{k})|0\rangle = |\vec{k}\rangle$$

$$\langle 0| = \langle \vec{k} | \hat{a}(\vec{k})$$

$$\Rightarrow \langle \vec{k} | \vec{k}' \rangle = \langle 0 | \hat{a}(\vec{k}) \hat{a}^\dagger(\vec{k}') | 0 \rangle$$

$$= \langle 0 | \hat{a}(\vec{k}') \hat{a}(\vec{k}) + \delta(\vec{k} - \vec{k}') | 0 \rangle$$

$$\hat{a}(\vec{k})|0\rangle = 0$$

$$= \delta(\vec{k} - \vec{k}') | 0 \rangle = \delta(\vec{k} - \vec{k}')$$

¿Bosones? En el caso que nos ocupa, estamos tratando con partículas de spin cero.

$$|\vec{k}_1, \vec{k}_2\rangle = \hat{a}^\dagger(\vec{k}_1) \hat{a}^\dagger(\vec{k}_2) | 0 \rangle$$

$$= \hat{a}^\dagger(\vec{k}_2) \hat{a}^\dagger(\vec{k}_1) | 0 \rangle$$

$$= |\vec{k}_2, \vec{k}_1\rangle$$

Estado simétrico bajo intercambio de partículas  
 $\rightarrow$  bosones. Si hubiera salido en tipo menor  
 serían fermiones.

Ahora sí, vamos a entrar en

### Energía y momento:

Comencemos con el desarrollo del campo:

$$\hat{\varphi}(x) = \int \frac{d^3k}{(2\pi)^{3/2} \sqrt{2\omega_k}} \left[ \hat{a}(\vec{k}) e^{-i(\omega_k x^0 - \vec{k} \cdot \vec{x})} + \hat{a}^\dagger(\vec{k}) e^{i(\omega_k x^0 - \vec{k} \cdot \vec{x})} \right]$$

su momento conjugado era:

$$\hat{\pi}(x) = -i \int \frac{d^3k}{(2\pi)^{3/2}} \sqrt{\frac{\omega_k}{2}} \left[ \hat{a}(\vec{k}) e^{-i(\omega_k x^0 - \vec{k} \cdot \vec{x})} - \hat{a}^\dagger(\vec{k}) e^{i(\omega_k x^0 - \vec{k} \cdot \vec{x})} \right]$$

Recordemos que la densidad hamiltoniana es:

$$\mathcal{H} = \pi(x) \dot{\varphi}(x) - \mathcal{L}, \text{ con}$$

$$\mathcal{L} = \frac{1}{2} (\partial_\mu \varphi \partial^\mu \varphi - m^2 \varphi^2), \text{ quedando}$$

$$\mathcal{H} = \frac{1}{2} [(\partial_0 \varphi)^2 + (\vec{\nabla} \varphi)^2 + m^2 \varphi^2]$$

$$\hookrightarrow \hat{\mathcal{H}}$$

Vamos a hacerlo poco a poco

$$\hat{H} = \frac{1}{2} \int d^3x \left( \underbrace{\hat{\pi}^2}_{I_1} + \underbrace{\vec{p}\psi \cdot \vec{\nabla}\psi}_{I_2} + \underbrace{m^2\psi^2}_{I_3} \right)$$

$$\textcircled{I_1} = \frac{1}{2} \int d^3x \hat{\pi}^2$$

$$= \frac{1}{2} \int d^3x \left[ \frac{i}{(2\pi)^{3/2}} \int d^3k \sqrt{\frac{\omega_k}{2}} \left[ \hat{a}(\vec{k}) e^{i(\omega_k x^0 - \vec{k} \cdot \vec{x})} - \hat{a}^\dagger(\vec{k}) e^{-i(\omega_k x^0 - \vec{k} \cdot \vec{x})} \right] \right.$$

$$\left. \times \frac{i}{(2\pi)^{3/2}} \int d^3k' \sqrt{\frac{\omega_{k'}}{2}} \left[ \hat{a}(\vec{k}') e^{i(\omega_{k'} x^0 - \vec{k}' \cdot \vec{x})} - \hat{a}^\dagger(\vec{k}') e^{-i(\omega_{k'} x^0 - \vec{k}' \cdot \vec{x})} \right] \right]$$

$$= -\frac{1}{4} \frac{1}{(2\pi)^3} \int d^3x \int d^3k \int d^3k' \sqrt{\omega_k \omega_{k'}} \left( \hat{a}(\vec{k}) e^{i(\omega_k x^0 - \vec{k} \cdot \vec{x})} - \hat{a}^\dagger(\vec{k}) e^{-i(\omega_k x^0 - \vec{k} \cdot \vec{x})} \right)$$

$$\times \left( \hat{a}(\vec{k}') e^{i(\omega_{k'} x^0 - \vec{k}' \cdot \vec{x})} - \hat{a}^\dagger(\vec{k}') e^{-i(\omega_{k'} x^0 - \vec{k}' \cdot \vec{x})} \right)$$

$$= -\frac{1}{4} \frac{1}{(2\pi)^3} \int d^3x \int d^3k \int d^3k' \sqrt{\omega_k \omega_{k'}} \left[ \hat{a}(\vec{k}) \hat{a}(\vec{k}') e^{i[(\omega_k + \omega_{k'}) x^0 - (\vec{k} + \vec{k}') \cdot \vec{x}]} \right.$$

$$- \hat{a}(\vec{k}) \hat{a}^\dagger(\vec{k}') e^{i[(\omega_k - \omega_{k'}) x^0 - (\vec{k} - \vec{k}') \cdot \vec{x}]}]$$

$$- \hat{a}^\dagger(\vec{k}) \hat{a}(\vec{k}') e^{-i[(\omega_k - \omega_{k'}) x^0 - (\vec{k} - \vec{k}') \cdot \vec{x}]}]$$

$$+ \hat{a}(\vec{k}) \hat{a}^\dagger(\vec{k}') e^{-i[(\omega_k + \omega_{k'}) x^0 - (\vec{k} + \vec{k}') \cdot \vec{x}]}]$$



Utilizaremos la representación de Fourier de la delta de Dirac:

$$\frac{1}{(2\pi)^3} \int d^3x e^{+i\vec{k}\cdot\vec{x}} = \delta^{(3)}(\vec{k}) \quad \text{y además es por.}$$

$$I_1 = -\frac{1}{4} \int d^3k \int d^3k' \sqrt{N_k N_{k'}} \left[ \hat{a}(\vec{k}) \hat{a}(\vec{k}') \delta^{(3)}(\vec{k} + \vec{k}') e^{i(\omega_k + \omega_{k'})x^0} \right.$$

$$- \hat{a}(\vec{k}) \hat{a}^\dagger(\vec{k}') \delta^{(3)}(\vec{k} - \vec{k}') e^{i(\omega_k - \omega_{k'})x^0}$$

$$- \hat{a}^\dagger(\vec{k}) \hat{a}(\vec{k}') \delta^{(3)}(\vec{k} - \vec{k}') e^{-i(\omega_k - \omega_{k'})x^0}$$

$$\left. + \hat{a}^\dagger(\vec{k}) \hat{a}^\dagger(\vec{k}') \delta^{(3)}(\vec{k} + \vec{k}') e^{-i(\omega_k + \omega_{k'})x^0} \right]$$

$$\left[ I_1 = -\frac{1}{4} \int d^3k \omega_k \left[ \hat{a}(\vec{k}) \hat{a}(-\vec{k}) e^{2i\omega_k x^0} \right. \right.$$

↳ integra en  $k'$  ( $\omega_{\vec{k}} = \omega_{-\vec{k}}$ ;  $N_{\vec{k}} = +\sqrt{k^2 + m^2}$ )

$$- \hat{a}(\vec{k}) \hat{a}^\dagger(\vec{k}) - \hat{a}^\dagger(\vec{k}) \hat{a}(\vec{k})$$

$$\left. + \hat{a}^\dagger(\vec{k}) \hat{a}^\dagger(-\vec{k}) e^{-2i\omega_k x^0} \right]$$

Vamos a hacer lo mismo con los siguientes términos.

$$\textcircled{I_2} = \frac{1}{2} \int d^3x \bar{\psi} \not{\partial} \psi \cdot \not{\partial} \psi$$

$$= \frac{1}{2} \frac{1}{(2\pi)^3} \int d^3x \int \frac{d^3k}{\sqrt{2\omega_k}} \int \frac{d^3k'}{\sqrt{2\omega_{k'}}} (-i\vec{k}) \cdot (-i\vec{k}')$$

$$\times (\hat{a}(\vec{k}) e^{i(\omega_k x^0 - \vec{k} \cdot \vec{x})} - \hat{a}^\dagger(\vec{k}) e^{-i(\omega_k x^0 - \vec{k} \cdot \vec{x})})$$

$$\times (\hat{a}(\vec{k}') e^{i(\omega_{k'} x^0 - \vec{k}' \cdot \vec{x})} - \hat{a}^\dagger(\vec{k}') e^{-i(\omega_{k'} x^0 - \vec{k}' \cdot \vec{x})})$$

$$= -\frac{1}{2} \frac{1}{(2\pi)^3} \int d^3x \int \frac{d^3k}{\sqrt{2\omega_k}} \int \frac{d^3k'}{\sqrt{2\omega_{k'}}} \vec{k} \cdot \vec{k}' \left[ \hat{a}(\vec{k}) \hat{a}(\vec{k}') e^{i[(\omega_k + \omega_{k'})x^0 - (\vec{k} + \vec{k}') \cdot \vec{x}]} \right.$$

$$- \hat{a}(\vec{k}) \hat{a}^\dagger(\vec{k}') e^{i[(\omega_k - \omega_{k'})x^0 - (\vec{k} - \vec{k}') \cdot \vec{x}]} \\$$

$$- \hat{a}^\dagger(\vec{k}) \hat{a}(\vec{k}') e^{-i[(\omega_k - \omega_{k'})x^0 - (\vec{k} - \vec{k}') \cdot \vec{x}]} +$$

$$\left. + \hat{a}^\dagger(\vec{k}) \hat{a}^\dagger(\vec{k}') e^{-i[(\omega_k + \omega_{k'})x^0 - (\vec{k} + \vec{k}') \cdot \vec{x}]} \right]$$

$$= -\frac{1}{2} \int \frac{d^3k}{\sqrt{2\omega_k}} \frac{d^3k'}{\sqrt{2\omega_{k'}}} \vec{k} \cdot \vec{k}' \left[ \hat{a}(\vec{k}) \hat{a}(\vec{k}') S^{(3)}(\vec{k} + \vec{k}') e^{i(\omega_k + \omega_{k'})x^0} \right.$$

$$- \hat{a}(\vec{k}) \hat{a}^\dagger(\vec{k}') S^{(3)}(\vec{k} - \vec{k}') e^{i(\omega_k - \omega_{k'})x^0} \\$$

$$- \hat{a}^\dagger(\vec{k}) \hat{a}(\vec{k}') S^{(3)}(\vec{k} - \vec{k}') e^{-i(\omega_k - \omega_{k'})x^0} +$$

$$\left. + \hat{a}^\dagger(\vec{k}) \hat{a}^\dagger(\vec{k}') S^{(3)}(\vec{k} + \vec{k}') e^{-i(\omega_k + \omega_{k'})x^0} \right]$$

$$= \left[ -\frac{1}{4} \int d^3k \frac{k^2}{\omega} \left[ -\hat{a}(\vec{k}) \hat{a}(-\vec{k}) e^{2i\omega_k x^0} - \hat{a}(\vec{k}) \hat{a}^\dagger(\vec{k}) \right. \right. \\ \left. \left. - \hat{a}^\dagger(\vec{k}) \hat{a}(\vec{k}) - \hat{a}^\dagger(\vec{k}) \hat{a}^\dagger(-\vec{k}) e^{-2i\omega_k x^0} \right] = \mathbb{I}_2 \right]$$

$$\textcircled{I_3} = \frac{1}{2} \int d^3x m^2 \dot{\psi}^2$$

$$= \frac{1}{2} \frac{1}{(2\pi)^3} \int d^3x \int \frac{d^3k}{\sqrt{2\omega}} \int \frac{d^3k'}{\sqrt{2\omega_{k'}}} m^2 \left[ \hat{a}(\vec{k}) e^{i(\omega_k x^0 - \vec{k} \cdot \vec{x})} + \hat{a}^\dagger(\vec{k}) e^{-i(\omega_k x^0 - \vec{k} \cdot \vec{x})} \right] \\ \times \left[ \hat{a}(\vec{k}') e^{i(\omega_{k'} x^0 - \vec{k}' \cdot \vec{x})} + \hat{a}^\dagger(\vec{k}') e^{-i(\omega_{k'} x^0 - \vec{k}' \cdot \vec{x})} \right]$$

$$= \frac{1}{2} \frac{1}{(2\pi)^3} \int d^3x \int \frac{d^3k}{\sqrt{2\omega_k}} \int \frac{d^3k'}{\sqrt{2\omega_{k'}}} m^2 \left[ \hat{a}(\vec{k}) \hat{a}(\vec{k}') e^{i[(\omega_k + \omega_{k'}) x^0 - (\vec{k} + \vec{k}') \cdot \vec{x}]} \right.$$

$$+ \hat{a}(\vec{k}) \hat{a}^\dagger(\vec{k}') e^{i[(\omega_k - \omega_{k'}) x^0 - (\vec{k} - \vec{k}') \cdot \vec{x}]} \\$$

$$+ \hat{a}^\dagger(\vec{k}) \hat{a}(\vec{k}') e^{-i[(\omega_k - \omega_{k'}) x^0 - (\vec{k} - \vec{k}') \cdot \vec{x}]} + \\$$

$$+ \hat{a}^\dagger(\vec{k}) \hat{a}^\dagger(\vec{k}') e^{-i[(\omega_k + \omega_{k'}) x^0 - (\vec{k} + \vec{k}') \cdot \vec{x}]} \Big]$$

$$= \frac{1}{2} \int \frac{d^3k}{\sqrt{2\omega}} \int \frac{d^3k'}{\sqrt{2\omega'}} m^2 \left[ \hat{a}(\vec{k}) \hat{a}(\vec{k}') S^{(3)}(\vec{k} + \vec{k}') e^{i(\omega_k + \omega_{k'}) x^0} \right.$$

$$+ \hat{a}(\vec{k}) \hat{a}^\dagger(\vec{k}') S^{(3)}(\vec{k} - \vec{k}') e^{i(\omega_k - \omega_{k'}) x^0} \\$$

$$+ \hat{a}^\dagger(\vec{k}) \hat{a}(\vec{k}') S^{(3)}(\vec{k} - \vec{k}') e^{-i(\omega_k - \omega_{k'}) x^0} + \hat{a}^\dagger(\vec{k}) \hat{a}^\dagger(\vec{k}') \\$$

$$S^{(3)}(\vec{k} + \vec{k}') e^{-i(\omega_k + \omega_{k'}) x^0}$$

$$\begin{aligned}
 & \left[ = \frac{1}{4} \int d^3K \frac{m^2}{\omega_K} \left[ \hat{a}(K) \hat{a}(-K) e^{2i\omega_K x^0} + \hat{a}(K) \hat{a}^\dagger(K) + \right. \right. \\
 & \quad \left. \left. + \hat{a}^\dagger(K) \hat{a}(K) + \hat{a}^\dagger(K) \hat{a}(-K) e^{-2i\omega_K x^0} \right] \right. \\
 & \quad \left. = I_3 \right]
 \end{aligned}$$

Juntándolos todos (antes de sumar) y agrupando

$$\hat{H} = I_1 + I_2 + I_3$$

$$= -\frac{1}{4} \int d^3K \left( \cancel{\omega_K} - \frac{k^2}{\cancel{\omega_K}} - \frac{m^2}{\omega_K} \right) \hat{a}(K) \hat{a}(-K) e^{2i\omega_K x^0}$$

$$- \frac{1}{4} \int d^3K \left( \cancel{-\omega_K} - \frac{k^2}{\cancel{\omega_K}} - \frac{m^2}{\omega_K} \right) \hat{a}(K) \hat{a}^\dagger(K)$$

no se van

$$- \frac{1}{4} \int d^3K \left( -\omega_K - \frac{k^2}{\omega_K} - \frac{m^2}{\omega_K} \right) \hat{a}^\dagger(K) \hat{a}(K)$$

$$- \frac{1}{4} \int d^3K \left( \cancel{\omega_K} - \frac{k^2}{\cancel{\omega_K}} - \frac{m^2}{\omega_K} \right) \hat{a}^\dagger(K) \hat{a}^\dagger(-K) e^{-2i\omega_K x^0}$$

Como  ~~$\omega^2 = k^2 + m^2$~~   $\omega^2 = k^2 + m^2$ , se van algunas  
y queda



$$\begin{aligned}
\hat{H} &= -\frac{1}{4} \int d^3k (-2\omega_k) \hat{a}(\vec{k}) \hat{a}^\dagger(\vec{k}) - \frac{1}{4} \int d^3k (-2\omega_k) \hat{a}^\dagger(\vec{k}) \hat{a}(\vec{k}) \\
&= \frac{1}{2} \int d^3k \omega_k (\hat{a}(\vec{k}) \hat{a}^\dagger(\vec{k}) + \hat{a}^\dagger(\vec{k}) \hat{a}(\vec{k})) \\
&= \frac{1}{2} \int d^3k \omega_k (\hat{a}^\dagger(\vec{k}) \hat{a}(\vec{k}) + \hat{a}^\dagger(\vec{k}) \hat{a}(\vec{k}) + \delta^{(3)}(\vec{k}-\vec{k})) \\
&= \int d^3k \omega_k \left( \hat{a}^\dagger(\vec{k}) \hat{a}(\vec{k}) + \frac{1}{2} \delta^{(3)}(0) \right)
\end{aligned}$$

Comienzan a aparecer los problemas

tenemos obtenido:

$$\hat{H} = \int d^3k \omega_k \left[ \hat{a}^\dagger(\vec{k}) \hat{a}(\vec{k}) + \frac{1}{2} \delta^{(3)}(0) \right]$$

La energía del estado fundamental será

$$\hat{H} |0\rangle = \int d^3k \omega_k \frac{1}{2} \delta^{(3)}(0) = E_0 |0\rangle$$

Esta divergencia podemos quitarla usando el ordenamiento normal de operadores



$\Rightarrow$  Reordenemos los operadores para que aparezcan los operadores de creación a la izquierda (ojo: estamos con bosones, si tuviéramos fermiones saldría un factor  $(-1)^P$ , donde  $P$  es el n.º de permutaciones necesarias para ordenar normalmente una cadena de operadores.

Ejemplos:

$$N[\hat{a}\hat{a}^+] = \hat{a}^+\hat{a}$$

$$N[\hat{a}^+\hat{a}] = \hat{a}^+\hat{a}$$

$$N[\hat{a}^+\hat{a}\hat{a}\hat{a}^+] = \hat{a}^+\hat{a}^+\hat{a}^+\hat{a}\hat{a}$$

$$N[\hat{a}(\vec{k})\hat{a}^+(\vec{k}')\hat{a}(\vec{k}'')] = \hat{a}^+(\vec{k}')\underbrace{\hat{a}(\vec{k}'')\hat{a}(\vec{k})}_{\text{estos conmutan. Su orden no importa.}}$$

para fermiones:

$$\begin{aligned}
 N[\hat{b}(\vec{k})\hat{b}^+(\vec{k}')\hat{b}(\vec{k}'')] \\
 = -\hat{b}^+(\vec{k}')\hat{b}(\vec{k})\hat{b}(\vec{k}'')
 \end{aligned}$$

Si lo aplicamos para nuestro  $\hat{H}$ , obtenemos:

$$\hat{H} = \frac{1}{2} \int d^3k \omega_k (\hat{a}(\vec{k}) \hat{a}^\dagger(\vec{k}) + \hat{a}^\dagger(\vec{k}) \hat{a}(\vec{k}))$$

$$\begin{aligned} \hookrightarrow N[\hat{H}] &= \frac{1}{2} \int d^3k \omega_k (\hat{a}^\dagger(\vec{k}) \hat{a}^\dagger(\vec{k}) + \hat{a}^\dagger(\vec{k}) \hat{a}(\vec{k})) \\ &= \int d^3k \omega_k \hat{a}^\dagger(\vec{k}) \hat{a}(\vec{k}) \\ &= \int d^3k \omega_k \hat{N}(\vec{k}) \end{aligned}$$

$N[\hat{H}]|\psi\rangle$  nos dice cuantos excitaciones  
con número de onda  $k$  hay en el estado  
 $|\psi\rangle$ .

[A veces se denota  $:\hat{H}:$  en vez de  $N[\hat{H}]$ ]

Con esta prescripción,

$$:\hat{H}:|0\rangle = 0.$$

¿ Por qué surge este "problema" ?

Consideremos a nuestro viejo amigo:

$$\hat{H} = \frac{1}{2} \hat{p}^2 + \frac{1}{2} \omega^2 \hat{q}^2 \quad \text{con} \quad [\hat{q}, \hat{p}] = i$$

Definimos

$$\left. \begin{aligned} \hat{a} &= \sqrt{\frac{\omega}{2}} \hat{q} + \frac{i}{\sqrt{2\omega}} \hat{p} \\ \hat{a}^+ &= \sqrt{\frac{\omega}{2}} \hat{q} - \frac{i}{\sqrt{2\omega}} \hat{p} \end{aligned} \right\} \Rightarrow \begin{cases} \hat{q} = \frac{1}{\sqrt{2\omega}} (\hat{a} + \hat{a}^+) \\ \hat{p} = -i \sqrt{\frac{\omega}{2}} (\hat{a} - \hat{a}^+) \end{cases}$$

Entonces,  $[\hat{q}, \hat{p}] = i \Rightarrow [\hat{a}, \hat{a}^+] = 1$  y

nuestro Hamiltoniano es:

$$\begin{aligned} \hat{H} &= \frac{1}{2} \omega (\hat{a} \hat{a}^+ + \hat{a}^+ \hat{a}) \\ &= \omega \left( \hat{a}^+ \hat{a} + \frac{1}{2} \right) \end{aligned}$$

¿ y si hubiéramos osado

$$H_{cl}^{(1)} = \frac{1}{2} (\omega q - ip)(\omega q + ip) \quad \text{en vez}$$

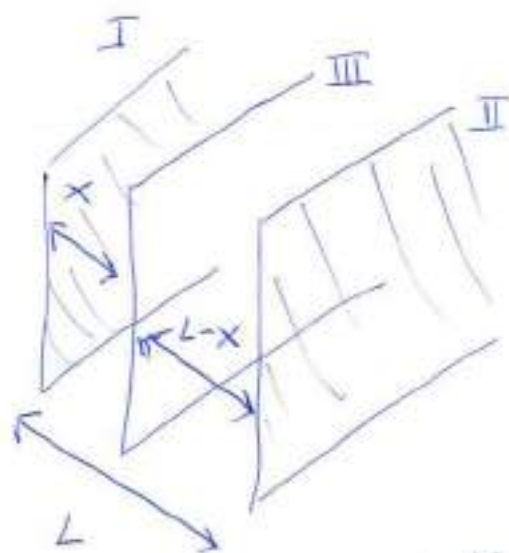
$$\text{de } H_{cl}^{(2)} = \frac{1}{2} p^2 + \frac{1}{2} \omega^2 q^2 \quad ?$$

Curioso:  $H_a^{(1)} \rightarrow \hat{H}^{(1)} = \omega \hat{a}^\dagger \hat{a}$  y nos  
evitamos el posible problema de la  
energía del estado fundamental.

### El efecto Casimir

Hemos dicho que la energía del vacío no  
es observable; podemos escoger un "buen origen" de  
energías y eliminarla. Pero, ¿qué ocurre con la  
diferencia, o con cambios, en la energía del  
vacío?

Por sencillez, vamos a considerar un problema  
en una dimensión. Tenemos dos placas  
metálicas y ponemos una  
tercera entre ambas.



Si recordamos nuestras clases de Mecánica Cuántica, al imponer condiciones de frontera de Dirichlet sobre el campo  $\psi$ :

$$\psi(t, 0) = \psi(t, L) = 0, \quad \text{los}$$

números de onda resultaban estar cuantizados:

(recordad una partícula confinada entre dos paredes infinitas)

$$k_n = \frac{n\pi}{x} \quad \text{o} \quad k_n = \frac{n\pi}{L-x}$$

La relación de dispersión para un campo escalar sin masa es  $E_n = k_n$  y la

energía total del punto cero será  $\frac{1}{2}N_n$  por cada modo:

$$E = \sum_{n=1}^{\infty} \left[ \frac{1}{2} \left( \frac{n\pi}{x} \right) + \frac{1}{2} \left( \frac{n\pi}{L-x} \right) \right]$$

$$\equiv f(x) + f(L-x).$$



Ambas sumas divergen. Vamos con un argumento físico para eliminar esas divergencias.

• Las placas reales no pueden reflejar radiación con frecuencias arbitrariamente altas (los modos de más alta energía se filtran).

Quitamos entonces estos modos.

$$\frac{n\pi}{2x} \rightarrow \frac{n\pi}{2x} e^{-n\pi a/x}$$

quitar modos con  $\lambda \ll a$

parámetro de corte arbitrario

no debe salir al final del cálculo

Sumemos:

$$f(x) = \sum_n \frac{n\pi}{2x} e^{-n\pi a/x}$$

$$= \frac{1}{2} \frac{\partial}{\partial a} \sum_n e^{-n\pi a/x}$$

$$= \frac{1}{2} \frac{\partial}{\partial a} \frac{1}{1 - e^{-\pi a/x}} = \frac{\pi}{2x} \frac{e^{\pi a/x}}{(1 - e^{\pi a/x})^2}$$

$$\stackrel{\sim}{=} \frac{x}{2\pi a^2} - \frac{\pi}{24x} + \mathcal{O}(a^2)$$

↓ Taylor

De esta manera, la energía total del punto cero, será:

$$E = f(x) + f(L-x) = -\frac{\pi}{24x} + \frac{x}{2\pi a^2} + \frac{L-x}{2\pi a^2} - \frac{\pi}{24(L-x)} + O(a^2)$$

$$= \frac{L}{2\pi a^2} - \frac{\pi}{24} \left( \frac{1}{x} + \frac{1}{L-x} \right) + O(a^2)$$

Ahora bien, si  $x \ll L$ , entonces

$$\boxed{-\frac{\partial E}{\partial x} = -\frac{\pi}{24x^2} = F_{\text{casimir}}}$$

→ Fuerza atractiva entre las placas

Otra deducción (tal vez más sorprendente)

$$E = \sum_{n=1}^{\infty} \left[ \frac{1}{2} \left( \frac{n\pi}{x} \right) + \frac{1}{2} \left( \frac{n\pi}{L-x} \right) \right]$$

como  $x \ll L$ ,

$$\frac{\partial E}{\partial x} = -\frac{\pi}{2x^2} \sum_{n=1}^{\infty} n$$

densidad de  
energía del vacío

¿y si  $\sum_{n=1}^{\infty} n \hat{=} -\frac{1}{12}$  ? ya lo tendríamos todo.

¿Es eso posible?

## Srinivasa Ramanujan (1887-1920)

- 1889 Erode  $\xrightarrow{+2 \text{ años}}$  Madras (Chennai)
- sin ninguna formación. No fue al colegio.
- Descubrió expresiones tan asombrosas como

$$\frac{1}{\pi} = \frac{\sqrt{8}}{99^2} \sum_{n \geq 0} \frac{(4n)!}{(4^n n!)^4} \frac{1103 + 26390n}{99^{4n}}$$

$$\text{con } |\pi - \pi_0| \leq 7.6 \cdot 10^{-18}$$

$$|\pi - \pi_1| \leq 6.4 \cdot 10^{-16}$$

$$|\pi - \pi_2| \leq 5.7 \cdot 10^{-24}$$

- Dice que la diosa Namagiri le susurraba en sueños.
- En 1913 escribió a G. Hardy, eminente matemático en el Trinity College (Cambridge)

- Una de las primeras cosas que le ocurrió, fue:

$$\sum_{n \geq 1} n = 1 + 2 + 3 + \dots = -\frac{1}{12}$$

- Hardy reconoció fácilmente la función  
zeta de Riemann. Para  $\text{Re } z > 1$ , es

$$\zeta(z) = \sum_{n=1}^{\infty} \frac{1}{n^z}$$

- Riemann llevó a cabo la continuación analítica  
en  $z \in \mathbb{C} - \{1\}$ , obteniendo

$$\zeta(z) = \frac{(2\pi)^z}{2\pi i} \sin\left(\frac{\pi z}{2}\right) \Gamma(1-z) \zeta(1-z)$$

$$\Rightarrow \zeta(-k) = -\frac{\overset{\text{números de Bernoulli}}{B_{k+1}}}{k+1}, \quad k \in \mathbb{N}$$

que coincide para  $k=1$  con la suma  
"mágica" de Ramanujan.

- El uso de la función  $\gamma$  es, hoy en

deca, común, pero trata el proceso de renormalización. (p. ej. en gravedad cuántica)

- No sabemos cómo llegó a ello Ramanujan. Usaba una pizarra y únicamente anotaba los resultados finales que le parecían interesantes.



## LA ECUACIÓN DE DIRAC.

¿ Por qué es necesario? Problemas con Klein-Gordon

$$(\Delta + m^2)\psi(x) = 0$$

$$\begin{aligned}\text{Solución: } \psi(t, \vec{x}) &= N e^{-i(Et - \vec{p}\vec{x})} = \\ &= N e^{-ipx}\end{aligned}$$

$$\text{con } E = \pm \sqrt{p^2 + m^2}$$

El problema es que, tomando

$$\vec{j}(x) = -i (\psi^*(x) \vec{\nabla} \psi(x) - \psi(x) \vec{\nabla} \psi^*(x))$$

como en Schrödinger, necesitamos

tomar

$$\rho(x) = i \left[ \psi^*(x) \frac{\partial \psi(x)}{\partial t} - \frac{\partial \psi^*(x)}{\partial t} \psi(x) \right]$$

para que se satisfaga K-G.

Entonces, podemos escribir:

$$\partial_\mu j^\mu = 0 \quad \text{con}$$

$$j^\mu(x) = i \left\{ \psi^\dagger(x) \partial^\mu \psi(x) - (\partial^\mu \psi^\dagger(x)) \psi(x) \right\}$$

Como  $\psi(x) = u e^{-ipx}$ , obtenemos

$$j^0 = \rho = 2|N|^2 E \quad \text{y tenemos problemas}$$

con  $E = \pm \sqrt{p^2 + m^2}$ .

¿Podemos interpretar los estados con energía  $< 0$ ?

(Feynman & Stueckelberg)

"partículas moviéndose  
hacia atrás en el tiempo"

↕  
Antipartículas

Observemos que

$$m \frac{d^2 x^\mu}{d\tau^2} = \mp F^\mu{}_\nu \frac{dx^\nu}{d\tau}$$

obtenemos la misma ecuación cambiando

$$q \rightarrow -q \quad \text{o} \quad z \rightarrow -z$$

$\Rightarrow$  una partícula viajando hacia atrás en el tiempo  $\simeq$  una antipartícula de carga opuesta viajando hacia el futuro.

Entonces, para eliminar estados con  $E < 0$ :

$$q \rightarrow -q$$

$$\vec{p} \rightarrow -\vec{p}$$

$$t \rightarrow -t$$

$$E \rightarrow -E$$

También podríamos usar un argumento de este estilo: consideremos la corriente electromagnética para un campo de Klein-Gordon.

Si  $q > 0$  y la partícula es entrante ( $e^{-ip \cdot x}$ )  
con  $E > 0$ , tenemos:

$$J_{EM}^\mu = (+q) 2 |N|^2 p^\mu$$

$$= (+q) 2 |N|^2 (E, \vec{p})$$

Si  $q > 0$  y  $E < 0$ :

$$J_{EM}^\mu = (+q) 2 |N|^2 (-E, \vec{p})$$

$\rightarrow$  no nos gusta el  
 $= (-q) 2 |N|^2 (E, \vec{p})$  signo "-"  
 $\rightarrow$  sale del argumento de la  
 paréntesis anterior.

luego

"partícula entrante"  $\longleftrightarrow$  "antipartícula saliente"

De esta manera, el campo  $\psi(x)$  lo expresamos como

$$\psi(x) = \left( \begin{array}{c} \text{partícula} \\ \text{entrante} \\ E > 0 \end{array} \right) + \left( \begin{array}{c} \text{antipartícula} \\ \text{saliente} \\ E > 0 \end{array} \right)$$

$$e^{-i(Et - \vec{p} \cdot \vec{x})} \quad e^{+i(Et - \vec{p} \cdot \vec{x})}$$

Como habíamos comentado, el problema es el signo - en  $E = \pm \sqrt{p^2 + m^2}$ . Dime se dio cuenta de que el problema radicaba en que la ecuación es de segundo orden en derivadas. Así lo hacer

$$(\partial + m^2) = (\partial^2 + m^2) = (\sqrt{\partial^2} + im)(\sqrt{\partial^2} - im)$$

¿Cómo definimos  $\sqrt{\partial^2}$ ?

Dime: definamos un cuaivector  $\gamma^\mu$  cuyas componentes son:

$$(\gamma^0)^2 = 1 ; (\gamma^1)^2 = -1 ; (\gamma^2)^2 = -1 ; (\gamma^3)^2 = -1$$

Además, estas componentes no son números ordinarios.

$$\text{Si } \mu \neq \nu : \gamma^\mu \gamma^\nu + \gamma^\nu \gamma^\mu = \{\gamma^\mu, \gamma^\nu\} = 0.$$



Si vamos a lo el valor de las componentes de  $\gamma^\mu$ ,  
obtenemos

$$\{\gamma^\mu, \gamma^\nu\} = 2\gamma^{\mu\nu} I_{4 \times 4}$$

(Esta relación define un álgebra de Clifford)

La factorización anterior queda:

$$\begin{aligned} (0 + m^2) &= (\not{\partial}^2 + m^2) = (\gamma^\mu \partial_\mu + m^2) \\ &= (\gamma^\mu \partial_\mu - im)(\gamma^\mu \partial_\mu + im) \end{aligned}$$

Notación :  $\not{\partial} = \gamma^\mu \partial_\mu$  (a-slash)

$$(\not{\partial}^2 + m^2) = (\not{\partial}^2 + m^2) = (\not{\partial} - im)(\not{\partial} + im)$$

Escojamos el paréntesis con signo positivo  
y tratémoslo como un operador actuando sobre  
la función de onda,  $\Psi(x)$ :

$$\boxed{(\not{\partial} + im)\Psi(x) = 0} \quad , \text{ o bien,}$$

$$\boxed{(i)^{\mu} \partial_{\mu} - m) \psi(x) = 0} \quad , \quad \text{que es la famosa}$$

ecuación de Dirac.

Notemos que también podemos escribirla como

$$\boxed{(\hat{\not{p}} - m) \psi = 0} \quad , \quad \text{donde } \hat{\not{p}} = \gamma^{\mu} (i \partial_{\mu}) \quad y$$

$$\hat{p}_{\mu} = i \partial_{\mu}$$

Comentarios:

• Hemos introducido los símbolos  $\gamma^{\mu}$  (que anticonmutan). Los vamos a representar por matrices  $4 \times 4$ .

• Esto implica que  $\psi(x)$  es una función de onda con 4 componentes. ¿Qué representan?

No hay una forma única de representar las matrices  $\gamma^{\mu}$ . Vamos a elegir una.

Representación quiral de las matrices gamma:

$$\gamma^0 = \begin{pmatrix} 0 & 0 & 1 & 0 \\ 0 & 0 & 0 & 1 \\ 1 & 0 & 0 & 0 \\ 0 & 1 & 0 & 0 \end{pmatrix} \quad \gamma^1 = \begin{pmatrix} 0 & 0 & 0 & 1 \\ 0 & 0 & 1 & 0 \\ 0 & -1 & 0 & 0 \\ -1 & 0 & 0 & 0 \end{pmatrix}$$

$$\gamma^2 = \begin{pmatrix} 0 & 0 & 0 & -i \\ 0 & 0 & i & 0 \\ 0 & i & 0 & 0 \\ -i & 0 & 0 & 0 \end{pmatrix} \quad \gamma^3 = \begin{pmatrix} 0 & 0 & 1 & 0 \\ 0 & 0 & 0 & -1 \\ -1 & 0 & 0 & 0 \\ 0 & 1 & 0 & 0 \end{pmatrix}$$

Para simplificar la notación (e intuir qué es lo que va a pasar), hagamos:

$$I \equiv \begin{pmatrix} 1 & 0 \\ 0 & 1 \end{pmatrix} \quad \text{Entonces}$$

$$\gamma^0 = \begin{pmatrix} 0 & I \\ I & 0 \end{pmatrix}, \quad \gamma^1 = \begin{pmatrix} 0 & \sigma_x \\ -\sigma_x & 0 \end{pmatrix}$$

$$\gamma^2 = \begin{pmatrix} 0 & \sigma_y \\ -\sigma_y & 0 \end{pmatrix}, \quad \gamma^3 = \begin{pmatrix} 0 & \sigma_z \\ -\sigma_z & 0 \end{pmatrix}$$

Además, puede demostrarse que  $\gamma^A$  transforma

como un cuadvector. Motivados por esto escribimos

$$\gamma^\mu = (\gamma^0, \gamma^1, \gamma^2, \gamma^3) = (\gamma^0, \vec{\gamma}) \quad , \quad \text{con}$$

$$\gamma^0 = \begin{pmatrix} 0 & I \\ I & 0 \end{pmatrix} \quad , \quad \vec{\gamma} = \begin{pmatrix} 0 & \vec{\sigma} \\ -\vec{\sigma} & 0 \end{pmatrix} \quad , \quad \text{donde}$$

$$\vec{\sigma} = (\sigma_x, \sigma_y, \sigma_z) \quad .$$

Finalmente, para escribir aun menos, definimos

$$\sigma^\mu = (I, \vec{\sigma})$$

$$\bar{\sigma}^\mu = (I, -\vec{\sigma})$$

y obtenemos

$$\boxed{\gamma^\mu = \begin{pmatrix} 0 & \sigma^\mu \\ +\bar{\sigma}^\mu & 0 \end{pmatrix}}$$

Si sustituimos estas  $\gamma^\mu$  en la ecuación de

Dirac, queda:

$$(\gamma_0 \hat{p}^0 - \gamma_i \hat{p}^i - m) \psi(x) = 0 \quad ,$$

$$\text{con} \quad \hat{p}^0 = i\partial_0 \quad , \quad \hat{p}^i = -i\partial_i$$

Ahora, vamos a escribir la función de onda como

$$\Psi(x) = \begin{pmatrix} \Psi_L \\ \Psi_R \end{pmatrix}, \text{ donde } \Psi_{L,R} \text{ son}$$

matrices columna de dos componentes. Nuestra ecuación queda:

$$\left[ \begin{pmatrix} 0 & \hat{p}^0 \\ \hat{p}^0 & 0 \end{pmatrix} - \begin{pmatrix} 0 & \vec{\sigma} \cdot \hat{\vec{p}} \\ -\vec{\sigma} \cdot \hat{\vec{p}} & 0 \end{pmatrix} - \begin{pmatrix} m & 0 \\ 0 & m \end{pmatrix} \right] \begin{pmatrix} \Psi_L \\ \Psi_R \end{pmatrix} = 0$$

o bien:

$$(\hat{p}^0 - \vec{\sigma} \cdot \hat{\vec{p}}) \Psi_R = m \Psi_L$$

$$(\hat{p}^0 + \vec{\sigma} \cdot \hat{\vec{p}}) \Psi_L = m \Psi_R$$

Simplifiquemos todavía más considerando partículas sin masa ( $m=0$ ).

$$(\hat{p}^0 - \vec{\sigma} \cdot \hat{\vec{p}}) \Psi_R = 0$$

$$(\hat{p}^0 + \vec{\sigma} \cdot \hat{\vec{p}}) \Psi_L = 0.$$



Entonces, en el caso de partículas sin masa,  
nuestro autovector  $\psi = \begin{pmatrix} \psi_L \\ \psi_R \end{pmatrix}$  se separa en dos  
componentes,  $\psi_L$  y  $\psi_R$ , que no se mezclan.

Conclusión: tenemos en la Naturaleza dos tipos  
de partículas de Dirac sin masa: zurdas  
(left-handed) ( $\psi_L$ ) y diestras (right-handed) ( $\psi_R$ )

En la representación quiral que estamos considerando,

$$\psi(x) = \begin{pmatrix} \square \\ \square \\ \square \\ \square \end{pmatrix} \begin{matrix} \text{left-handed} \\ \text{right-handed} \end{matrix}$$

Para ser más precisos con left-and right-handed,  
definamos el operador de quiralidad,  $\gamma^5$ ,

$$\gamma^5 = i\gamma^0\gamma^1\gamma^2\gamma^3 = \begin{pmatrix} -I & 0 \\ 0 & I \end{pmatrix}$$

↳ (sólo en la repr. quiral)

De esta manera,

$$\gamma^5 \begin{pmatrix} \psi_L \\ 0 \end{pmatrix} = (-1) \begin{pmatrix} \psi_L \\ 0 \end{pmatrix}$$

$$\gamma^5 \begin{pmatrix} 0 \\ \psi_R \end{pmatrix} = (+1) \begin{pmatrix} 0 \\ \psi_R \end{pmatrix}$$

las partículas left-handed tienen quiralidad  $-1$ ,  
las partículas right-handed "  $+1$ .

Para extraer las partes left- o right-handed  
de una función de onda, definiremos los  
proyectores de quiralidad

$$\hat{P}_L = \frac{1 - \gamma^5}{2} \quad ; \quad \hat{P}_R = \frac{1 + \gamma^5}{2}$$

Conclusión : como  $\psi_L$  y  $\psi_R$  son autovectores  
de la cc. Dirac sin masa, entonces una  
partícula libre, sin masa y  $L$ , nunca se  
transformará en una  $R$ .

Además, para  $m=0$ , el autovector de  $\hat{p}^0$  es

$$E_{\vec{p}} = |\vec{p}|, \text{ luego}$$

$$\left. \begin{aligned} (\hat{p}^0 - \vec{\sigma} \cdot \hat{\vec{p}}) \psi_R &= 0 \\ (\hat{p}^0 + \vec{\sigma} \cdot \hat{\vec{p}}) \psi_L &= 0 \end{aligned} \right\} \text{ implica}$$

$$\left. \begin{aligned} \frac{\vec{\sigma} \cdot \hat{\vec{p}}}{|\vec{p}|} \psi_R &= \psi_R \\ \frac{\vec{\sigma} \cdot \hat{\vec{p}}}{|\vec{p}|} \psi_L &= -\psi_L \end{aligned} \right\} \text{ Esto significa que}$$

los estados con  $m=0$  son también  
autoestados del operador de helicidad

$$\hat{h} = \frac{\vec{\sigma} \cdot \hat{\vec{p}}}{|\vec{p}|} \quad \text{con autovectores}$$

$$+1 (\psi_R) \quad \text{y} \quad -1 (\psi_L).$$

Ojo: quiralidad y helicidad son lo mismo para  
partículas sin masa.

En el caso  $m \neq 0$  tenemos las ecuaciones

$$(\hat{p}^0 - \vec{\sigma} \cdot \hat{\vec{p}}) \psi_L = m \psi_L$$

$$(\hat{p}^0 + \vec{\sigma} \cdot \hat{\vec{p}}) \psi_L = m \psi_R$$

que muestran oscilaciones entre  $\psi_L$  y  $\psi_R$  con una frecuencia proporcional a la masa. En particular, si consideramos un S.R. en el que la partícula está en reposo:

$$i \partial_0 \psi_R = m \psi_L$$

$$i \partial_0 \psi_L = m \psi_R$$

que es como un sistema de dos acedlos pero "duplicado".

Vamos a sacar ahora la relación de  
dispersión de las partículas de Dirac masivas

De nuevo partimos de

$$(\hat{p}^0 - \vec{\sigma} \cdot \hat{\vec{p}}) \psi_R = m \psi_L \quad (1)$$

$$(\hat{p}^0 + \vec{\sigma} \cdot \hat{\vec{p}}) \psi_L = m \psi_R \quad (2)$$

Eliminamos  $\psi_L$  de (1) e introducimos en (2)

$$(\hat{p}^0 + \vec{\sigma} \cdot \hat{\vec{p}})(\hat{p}^0 - \vec{\sigma} \cdot \hat{\vec{p}}) \psi_R = m^2 \psi_R$$

$\Rightarrow$  Si  $\psi_L, \psi_R$  son autoestados de momento y energía:

$$\underbrace{(\hat{p}^0 + \vec{\sigma} \cdot \hat{\vec{p}})(\hat{p}^0 - \vec{\sigma} \cdot \hat{\vec{p}})} \psi_R = m^2 \psi_R$$

$$[(\hat{p}^0)^2 - |\hat{\vec{p}}|^2] \psi_R = m^2 \psi_R, \text{ luego}$$

$$E_{\vec{p}} = \pm \sqrt{\vec{p}^2 + m^2}$$

Observación: todavía seguimos teniendo estados con energía negativa. ¿Qué son estos estados?



Si escribimos  $\bar{E} = -|\vec{p}|$ , para partículas  
con  $m=0$  tenemos

$$\left. \begin{aligned} (-|\vec{p}| - \vec{\sigma} \cdot \hat{\vec{p}}) \psi_R &= 0 \\ (-|\vec{p}| + \vec{\sigma} \cdot \hat{\vec{p}}) \psi_L &= 0 \end{aligned} \right\} \text{ antipartículas}$$

$$\Rightarrow \left. \begin{aligned} \frac{\vec{\sigma} \cdot \hat{\vec{p}}}{|\vec{p}|} \psi_R &= -\psi_R \\ \frac{\vec{\sigma} \cdot \hat{\vec{p}}}{|\vec{p}|} \psi_L &= \psi_L \end{aligned} \right\} \text{ antipartículas}$$

(al revés que las partículas).

Resumen:

$$\psi(x) = \begin{pmatrix} \psi_L(x) \\ \psi_R(x) \end{pmatrix} \begin{matrix} \text{espinores} \\ \text{de Weyl} \\ \uparrow \\ \text{(2 componentes)} \end{matrix}$$

↳ espinor de Dirac  
(4 componentes)

A continuación, hablaremos de soluciones de la ecuación de Dirac.

## Soluciones de la ecuación de Dirac. Spin.

Veamos qué se oculta en  $\psi_L(x)$  y  $\psi_R(x)$ .

Por convenio, llamaremos

$$\left\{ \begin{array}{l} \bullet \text{ partículas} \equiv \text{soluciones frec. positiva} \\ \bullet \text{ antipartículas} \equiv \text{sols. frecuencia negativa.} \end{array} \right.$$

Es sencillo ver que un conjunto de soluciones de la ecuación de Dirac viene dado por

$$u(p) e^{-ip \cdot x} = \begin{pmatrix} u_L(p) \\ u_R(p) \end{pmatrix} e^{-ip \cdot x} \quad (\text{partículas})$$

$$v(p) e^{ip \cdot x} = \begin{pmatrix} v_L(p) \\ v_R(p) \end{pmatrix} e^{ip \cdot x} \quad (\text{antipartículas})$$

•  $u_{L,R}(p)$  y  $v_{L,R}(p)$  son espinores de Weyl en el espacio de momentos.  $u$  y  $v$  son los espinores de Dirac en dicho espacio y satisfacen:

$$\left. \begin{aligned} (\not{x} - m) u(p) &= 0 \\ (-\not{x} - m) v(p) &= 0 \end{aligned} \right\} (*)$$

Consideremos primero la partícula en reposo:

$p^\mu = (m, 0)$ . Entonces, (\*) son:

$$\begin{pmatrix} -m & m \\ m & -m \end{pmatrix} \begin{pmatrix} u_L(p^0) \\ u_R(p^0) \end{pmatrix} = 0$$

Las soluciones son  $u_L(p^0) = u_R(p^0)$ .

Escribamos

$$u(p^0) \equiv \begin{pmatrix} u_L(p^0) \\ u_R(p^0) \end{pmatrix} = \sqrt{m} \begin{pmatrix} \xi \\ \xi \end{pmatrix} \quad \text{por conveniencia.}$$

donde  $\xi = \begin{pmatrix} \xi_1 \\ \xi_2 \end{pmatrix}$  es un vector columna de dos componentes que escogemos  $\dagger \cdot \xi$ .

$$\xi^\dagger \xi = 1.$$

( $\xi$  es un espinor.

Así se llama usualmente)

Repetamos el argumento para antipartículas y obtenemos:

$$- \begin{pmatrix} m & m \\ m & m \end{pmatrix} \begin{pmatrix} v_L(p^0) \\ v_R(p^0) \end{pmatrix} = 0$$

$$\Rightarrow v_L(p^0) = -v_R(p^0).$$

Escribimos

$$v(p^0) = \sqrt{m} \begin{pmatrix} \xi \\ -\xi \end{pmatrix}$$

con  $\xi = \begin{pmatrix} \xi_1 \\ \xi_2 \end{pmatrix}$  el spinor asociado a las

antipartículas.

Observación: para las partículas ( $u$ ) y antipartículas ( $v$ ), tenemos dos grados de libertad, codificados en  $\xi$  ( $\xi$ ). Dichos espinores nos informarán sobre el spin de las partículas / antipartículas.

El operador de spin de una partícula en reposo es

$$\hat{S} = \frac{1}{2} \vec{\sigma}.$$

Este operador actúa sobre  $\chi$  o  $\eta$ .

• una partícula con spin up a lo largo del eje  $z$  tiene  $\chi = \begin{pmatrix} 1 \\ 0 \end{pmatrix}$  y otra con spin down a lo largo del eje  $z$  tiene  $\eta = \begin{pmatrix} 0 \\ 1 \end{pmatrix}$ .

• de forma similar, definimos una antipartícula en reposo con spin up a lo largo del eje  $z$  como aquella que tiene  $\chi = \begin{pmatrix} 0 \\ 1 \end{pmatrix}$ , de tal forma que

$$\hat{S}_z \chi = -\frac{1}{2} \chi.$$

Una antipartícula con spin down en  $z$  tiene

$$S_z = 1/2 \text{ y } \eta = \begin{pmatrix} 1 \\ 0 \end{pmatrix} \text{ tal que } \hat{S}_z \eta = \frac{1}{2} \eta.$$



¿Qué ocurre en el caso de que las partículas no estén en reposo? Deberíamos hacer un boost sobre el caso anterior. Daremos el resultado sin demostrar:

- Para una partícula / antipartícula con momento  $p^\mu$ , los espinores de Dirac vienen dados por

$$u(p) = \begin{pmatrix} \sqrt{p \cdot \sigma} \xi \\ \sqrt{p \cdot \bar{\sigma}} \xi \end{pmatrix} ; \quad v(p) = \begin{pmatrix} \sqrt{p \cdot \sigma} \eta \\ -\sqrt{p \cdot \bar{\sigma}} \eta \end{pmatrix}$$

Ejemplo: calculemos el espinor para una partícula con  $p^\mu = (E_p^0, 0, 0, |\vec{p}|)$  y  $\xi = \begin{pmatrix} 0 \\ 1 \end{pmatrix}$ .

$$\begin{aligned} u_L(p) &= \sqrt{p \cdot \sigma} \xi = \sqrt{p^\mu \sigma_\mu} \xi = \sqrt{p^0 \sigma_0 + |\vec{p}| \sigma_3} \xi \\ &= \sqrt{p^0 I + |\vec{p}| \sigma_3} \xi = \left[ \begin{pmatrix} E_p^0 & 0 \\ 0 & E_p^0 \end{pmatrix} + \begin{pmatrix} |\vec{p}| & 0 \\ 0 & -|\vec{p}| \end{pmatrix} \right]^{1/2} \begin{pmatrix} 0 \\ 1 \end{pmatrix} \\ &= \begin{pmatrix} E_p^0 + |\vec{p}| & 0 \\ 0 & E_p^0 - |\vec{p}| \end{pmatrix}^{1/2} \begin{pmatrix} 0 \\ 1 \end{pmatrix} = \begin{pmatrix} \sqrt{E_p^0 + |\vec{p}|} & 0 \\ 0 & \sqrt{E_p^0 - |\vec{p}|} \end{pmatrix} \begin{pmatrix} 0 \\ 1 \end{pmatrix} \end{aligned}$$

$$\Rightarrow u_L(p) = \sqrt{E_p + |\vec{p}|} \begin{pmatrix} 0 \\ 1 \end{pmatrix}$$

$$u_R(p) = \sqrt{p \cdot \vec{\sigma}} \xi = \sqrt{p^0 \bar{\sigma}_0 - |\vec{p}| \bar{\sigma}_2} \xi$$

$$= \left[ \begin{pmatrix} E_p & 0 \\ 0 & E_p \end{pmatrix} - |\vec{p}| \begin{pmatrix} -1 & 0 \\ 0 & 1 \end{pmatrix} \right]^{1/2} \xi$$

$$= \left[ \begin{pmatrix} E_p + |\vec{p}| & 0 \\ 0 & E_p - |\vec{p}| \end{pmatrix} \right]^{1/2} \begin{pmatrix} 0 \\ 1 \end{pmatrix}$$

$$= \sqrt{E_p - |\vec{p}|} \begin{pmatrix} 0 \\ 1 \end{pmatrix}$$

luego

$$u(p) = \begin{pmatrix} \sqrt{E_p + |\vec{p}|} \begin{pmatrix} 0 \\ 1 \end{pmatrix} \\ \sqrt{E_p - |\vec{p}|} \begin{pmatrix} 0 \\ 1 \end{pmatrix} \end{pmatrix}$$

es el espinor de Dirac buscado.

Exploremos ahora la helicidad y quiralidad  
de part. / antipart. en más detalle

Ejemplo: consideremos una partícula con spin  $1/2$  a lo largo de  $z$ . Su momento es  $|\vec{p}|$  (a lo largo de  $z$ ).  $\Rightarrow$  helicidad positiva

Según nuestra "receta" anterior

$$u(p) = \begin{pmatrix} \sqrt{p \cdot \sigma} \xi \\ \sqrt{p \cdot \bar{\sigma}} \xi \end{pmatrix} = \begin{pmatrix} u_L(p) \\ u_R(p) \end{pmatrix}$$

$$= \begin{pmatrix} \sqrt{E_p^2 - |\vec{p}|^2} \begin{pmatrix} 1 \\ 0 \end{pmatrix} \\ \sqrt{E_p^2 + |\vec{p}|^2} \begin{pmatrix} 1 \\ 0 \end{pmatrix} \end{pmatrix}$$

Si es a lo largo del eje  $z$ :

$$u(p) = \begin{pmatrix} \sqrt{E_p^2 - |\vec{p}|^2} \begin{pmatrix} 1 \\ 0 \end{pmatrix} \\ \sqrt{E_p^2 + |\vec{p}|^2} \begin{pmatrix} 1 \\ 0 \end{pmatrix} \end{pmatrix} \xrightarrow[\vec{E}_p^2 - |\vec{p}|^2]{\text{ultrarel.}} \begin{pmatrix} 0 \begin{pmatrix} 1 \\ 0 \end{pmatrix} \\ \sqrt{2E_p} \begin{pmatrix} 1 \\ 0 \end{pmatrix} \end{pmatrix}$$

$$= \sqrt{2E_p} \begin{pmatrix} 0 \\ 0 \\ 1 \\ 0 \end{pmatrix}, \text{ luego } u_L = 0$$

$$u_R = \sqrt{2E_p} \begin{pmatrix} 1 \\ 0 \end{pmatrix}$$

Conclusión: partículas ultrarelativistas con helicidad positiva tienen spinores right-handed.

Consideremos ahora una partícula con helicidad negativa (spin down a lo largo de  $z$  y momento a lo largo de  $+z$ ).

El espinor de Dirac será

$$u(p) = \begin{pmatrix} \sqrt{E_p^0 - p \cdot \sigma} \begin{pmatrix} 0 \\ 1 \end{pmatrix} \\ \sqrt{E_p^0 + p \cdot \sigma} \begin{pmatrix} 0 \\ 1 \end{pmatrix} \end{pmatrix} = \begin{pmatrix} \sqrt{E_p^0 + |\vec{p}|} \begin{pmatrix} 0 \\ 1 \end{pmatrix} \\ \sqrt{E_p^0 - |\vec{p}|} \begin{pmatrix} 0 \\ 1 \end{pmatrix} \end{pmatrix}$$

ejemplo  
anténiz

$$\xrightarrow[\vec{E}_p^0 \rightarrow |\vec{p}|]{\text{ultrarr.}} = \begin{pmatrix} \sqrt{2E_p^0} \begin{pmatrix} 0 \\ 1 \end{pmatrix} \\ 0 \begin{pmatrix} 0 \\ 1 \end{pmatrix} \end{pmatrix} = \sqrt{2E_p^0} \begin{pmatrix} 0 \\ 1 \\ 0 \\ 0 \end{pmatrix}$$

luego  $u_L = \sqrt{2E_p^0} \begin{pmatrix} 0 \\ 1 \end{pmatrix}$  y  $u_R = 0$ .

Entregable: hacer lo mismo pero considerando

antipartículas. Resultado: antipartículas

ultrarelativistas con helicidad positiva (negativa)

tienen espinores left- (right-) handed.

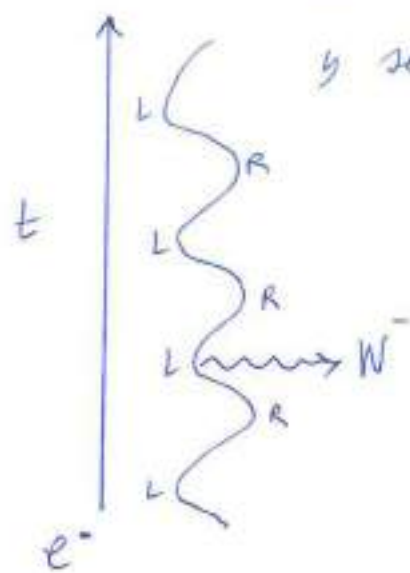


¿Por qué es importante este ejercicio?

Supongamos que existe una interacción que solo se acopla con partículas left-handed. En el límite ultrarelativista, solo interactúan partículas de helicidad negativa y antipartículas de helicidad positiva.

Este es, exactamente, el caso de la Interacción Débil. Describe un campo,  $W_{\pm}(x)$ , que únicamente se acopla a partículas de Dirac left-handed.

Ejemplo:  $e^{-}$  es masivo: oscila entre  $u_L$  y  $u_R$ . Emitirá un  $W^{-}$  sólo cuando sea  $u_L$  y se convertirá en un neutrino.



Observación: los neutrinos únicamente existen como partículas left-handed. Como  $m_{\nu} \neq 0$ , se han observado sólo  $\nu$  con hel. negativa y  $\bar{\nu}$  con hel. positiva.



## Relaciones de ortogonalidad

Es sencillo demostrar (ejercicio) que:

$$u^\dagger(p) u(p) = 2E_p \xi^\dagger \xi$$

$$v^\dagger(p) v(p) = 2E_p \zeta^\dagger \zeta$$

Observación (sin demostrar): estas expresiones NO son invariantes Lorentz. Para conseguir invariancia, definimos:

## Adjunto de un espinor

$$\bar{u}(p) \equiv u^\dagger(p) \gamma^0$$

De esta manera,  $\bar{u}(p) u(p) = 2m \xi^\dagger \xi$  sí es invariante Lorentz.

Volviendo a la ortogonalidad: para describir el spin de una partícula, usamos normalmente la base

$$\xi^1 = \begin{pmatrix} 1 \\ 0 \end{pmatrix} \quad \text{y} \quad \xi^2 = \begin{pmatrix} 0 \\ 1 \end{pmatrix} \quad \text{tal que}$$

$$\xi^{st} \xi^r = \delta^{sr}$$

Entonces, podemos escribir un espinor de Dirac de manera apropiada para ser usado como un estado de base:

$$u^s(p) = \begin{pmatrix} \sqrt{p \cdot \sigma} \xi^s \\ \sqrt{p \cdot \bar{\sigma}} \xi^s \end{pmatrix}, \quad s=1 \text{ o } 2$$

$$\text{y} \quad \bar{u}^s(p) u^r(p) = 2m \xi^{st} \xi^r = 2m \delta^{sr}$$

Ahora sí: importante: podemos expresar cualquier solución arbitraria de la ecuación de Dirac como una  $\int$  momento y una  $\sum$  sobre espines; poner particular:

$$\psi^-(x) = \int \frac{d^3 p}{(2\pi)^{3/2}} \frac{1}{\sqrt{2E_p}} \sum_{s=1}^2 a_{s,p} u^s(p) e^{-ip \cdot x}$$

Para el caso de antipartículas, obtenemos:

$$\bar{v}^s(p) v^r(p) = -2m\gamma^0 \gamma^3 = -2m\delta^{sr}$$

y la función de onda para antipartículas será

$$\Psi^+(x) = \int \frac{d^3p}{(2\pi)^{3/2}} \frac{1}{\sqrt{2E_p}} \sum_{s=-1}^2 b_{s\vec{p}}^* v^s(p) e^{ip \cdot x}$$

En las expresiones anteriores,  $a_{s\vec{p}}$  y  $b_{s\vec{p}}^*$  son las amplitudes del campo.

Finalmente, notemos que

$$\bar{u}^r(p) v^s(p) = \bar{v}^r(p) u^s(p) = 0.$$

### Resumen

	espinor	spin up	spin down	normaliz.
partícula	$\begin{pmatrix} \sqrt{p \cdot \sigma} \xi \\ \sqrt{p \cdot \sigma} \xi \end{pmatrix}$	$\begin{pmatrix} 1 \\ 0 \end{pmatrix}$	$\begin{pmatrix} 0 \\ 1 \end{pmatrix}$	$\bar{u}^s(p) u^r(p) = 2m\delta^{sr}$
antipartícula	$\begin{pmatrix} \sqrt{p \cdot \sigma} \xi \\ -\sqrt{p \cdot \sigma} \xi \end{pmatrix}$	$\begin{pmatrix} 0 \\ 1 \end{pmatrix}$	$\begin{pmatrix} 1 \\ 0 \end{pmatrix}$	$\bar{v}^s(p) v^r(p) = -2m\delta^{sr}$

Faisons algún cálculo para practicar.

Ejemplo

$$\sum_{s=1}^2 u^s(p) \bar{u}^s(p) = \sum_s \begin{pmatrix} \sqrt{p \cdot \sigma} \xi^s \\ \sqrt{p \cdot \bar{\sigma}} \xi^s \end{pmatrix} (\xi^{s\dagger} \sqrt{p \cdot \bar{\sigma}} \xi^{s\dagger} \sqrt{p \cdot \sigma})$$

$$\bar{u}^s(p) = u^\dagger(p) \gamma^0 \quad \text{y} \quad \gamma^0 = \begin{pmatrix} 0 & \mathbb{I} \\ \mathbb{I} & 0 \end{pmatrix}$$

$$\begin{aligned} \bar{u}^s(p) &= (\xi^{s\dagger} \sqrt{p \cdot \sigma} \xi^{s\dagger} \sqrt{p \cdot \bar{\sigma}}) \begin{pmatrix} 0 & \mathbb{I} \\ \mathbb{I} & 0 \end{pmatrix} \\ &= (\xi^{s\dagger} \sqrt{p \cdot \bar{\sigma}} \xi^{s\dagger} \sqrt{p \cdot \sigma}) \end{aligned}$$

Ahora bien :

$$\begin{aligned} \sum_{s=1}^2 \xi^s \xi^{s\dagger} &= \begin{pmatrix} 1 \\ 0 \end{pmatrix} (1 \ 0) + \begin{pmatrix} 0 \\ 1 \end{pmatrix} (0 \ 1) \\ &= \begin{pmatrix} 1 & 0 \\ 0 & 0 \end{pmatrix} + \begin{pmatrix} 0 & 0 \\ 0 & 1 \end{pmatrix} = \begin{pmatrix} 1 & 0 \\ 0 & 1 \end{pmatrix} \end{aligned}$$

Entonces

$$\sum_{s=1}^2 u^s(p) \bar{u}^s(p) = \begin{pmatrix} \sqrt{p \cdot \sigma} \sqrt{p \cdot \bar{\sigma}} & \sqrt{p \cdot \sigma} \sqrt{p \cdot \sigma} \\ \sqrt{p \cdot \bar{\sigma}} \sqrt{p \cdot \bar{\sigma}} & \sqrt{p \cdot \bar{\sigma}} \sqrt{p \cdot \sigma} \end{pmatrix}$$

$$\begin{aligned}
 \sqrt{p \cdot \sigma} \sqrt{p \cdot \sigma} &= \left[ (p^0 - p^1 \sigma_x - p^2 \sigma_y - p^3 \sigma_z) (p^0 + p^1 \sigma_x + p^2 \sigma_y + p^3 \sigma_z) \right]^{1/2} \\
 &= \left[ (p^0)^2 - (p^1)^2 - (p^2)^2 - (p^3)^2 \right]^{1/2} \\
 &= \sqrt{E^2 - p^2} = m
 \end{aligned}$$

luego

$$\sum_{s=1}^2 u^s(p) \bar{u}^s(p) = \begin{pmatrix} m & p \cdot \sigma \\ p \cdot \bar{\sigma} & m \end{pmatrix}$$

$$= \not{p} + m = (p \cdot \gamma + m) \mathbb{1}_{4 \times 4}$$

$$\not{p} = \begin{pmatrix} 0 & \sigma^\mu \\ -\bar{\sigma}^\mu & 0 \end{pmatrix}$$

Resultado importante:

$$\boxed{\sum_s u^s(p) \bar{u}^s(p) = \not{p} + m} = \not{p} + m$$

Entregable : para antipartículas, se tiene:



$$\boxed{\sum_s \bar{v}^s(p) v^s(p) = \not{p} - m} = \not{p} - m$$

Para terminar este capítulo, antes de entrar el Lagrangiano y cuantización, vamos a hablar del límite no-relativista de la ec. Dirac

Se suele decir que la ec. de Dirac es necesaria para hablar del spin. En realidad, la ecuación de Pauli ya lo hacía

$$\hat{H}\psi = \frac{(\vec{\sigma} \cdot \hat{p})^2}{2m} \psi$$

¿Cómo tomamos el límite no-relativista?

En el límite no relativista,

$$E^2 = p^2 + m^2 \rightarrow m^2$$

$$\Rightarrow E = mc^2 \quad (\text{recuerda que}$$

ultrarelativista es  $E = pc$ ).

Para hacer una teoría no relativista, la idea es reemplazar el campo relativista

$$\psi(\vec{x}, t) \rightarrow \phi(\vec{x}, t) e^{-imc^2 t}$$

para factorizar la gran energía en reposo.

Hagamos ésto en Dirac:

$$\Psi_L(t, \vec{x}) = \phi_L(t, \vec{x}) e^{-imc^2 t}$$

$$\text{Entonces } (\hat{p} - m)\Psi = 0 \Rightarrow$$

$$\Rightarrow \begin{pmatrix} -m & \hat{E} - \vec{\sigma} \cdot \hat{p} \\ \hat{E} + \vec{\sigma} \cdot \hat{p} & -m \end{pmatrix} \begin{pmatrix} \phi_L(t, \vec{x}) e^{-imc^2 t} \\ \phi_R(t, \vec{x}) e^{-imc^2 t} \end{pmatrix} = 0$$

$$\text{donde } \hat{E} = i\partial_0.$$

Observando que

$$\hat{E} \phi_a(t, \vec{x}) e^{-imc^2 t} = e^{-imc^2 t} (m + \hat{E}) \phi_a(t, \vec{x})$$

$$(a = L, R).$$

Obtenemos

$$-m\phi_L + (m + \hat{E} - \vec{\sigma} \cdot \hat{p})\phi_R = 0$$

$$(m + \hat{E} + \vec{\sigma} \cdot \hat{p})\phi_L - m\phi_R = 0$$

↓

$$\phi_R = \left(1 + \frac{\hat{E}}{m} + \frac{\vec{\sigma} \cdot \hat{p}}{m}\right)\phi_L$$

↓

lo meto en la 1ª ec.

$$\left[ -m + (m + \hat{E} - \vec{\sigma} \cdot \hat{p}) \left(1 + \frac{\hat{E}}{m} + \frac{\vec{\sigma} \cdot \hat{p}}{m}\right) \right] \phi_L = 0$$

$$\left[ -m + (m + \hat{E} + \vec{\sigma} \cdot \hat{p} + \hat{E} + \frac{\hat{E}^2}{m} + \frac{\hat{E}}{m} \vec{\sigma} \cdot \hat{p} - \vec{\sigma} \cdot \hat{p} - \frac{\hat{E}}{m} \vec{\sigma} \cdot \hat{p} - \frac{(\vec{\sigma} \cdot \hat{p})^2}{m}) \right] \phi_L = 0$$

$$\left( 2\hat{E} + \frac{\hat{E}^2}{m} - \frac{(\vec{\sigma} \cdot \hat{p})^2}{m} \right) \phi_L = 0$$

$\hat{E}^2$  despreciable si estoy a baja energía.

$$\Rightarrow \hat{E} \phi_L = \frac{(\vec{\sigma} \cdot \hat{p})^2}{2m} \phi_L, \text{ que es la ec. de Pauli.}$$

Ejercicio: comprobad que la misma ecuación sirve para  $\phi_R$ .

Toda esta discusión anterior es muy relevante para calcular el factor girromagnético del electrón

Vamos a partir del acoplamiento mínimo (ya hemos hablado de él en clase)

$$\vec{p} \rightarrow \vec{p} - q\vec{A}$$

$$\hat{E} \rightarrow \hat{E} - qA^0$$

$$\text{Entonces, } (\hat{E} - qA^0) \phi = \frac{[\vec{\sigma} \cdot (\vec{p} - q\vec{A})]^2}{2m} \phi$$

El R.H.S. de la ec. anterior lo vamos a desarrollar usando:

$$\hat{p} = -i \vec{\nabla}$$

$$\sigma^i \sigma^j = \delta^{ij} + i \epsilon^{ijk} \sigma^k$$

$$\vec{B} = \vec{\nabla} \times \vec{A}$$

Ejercicio : Llegad a

$$(\hat{E} - qA^0)\phi = \frac{[\vec{\sigma} \cdot (\hat{p} - q\vec{A})]^2}{2m} \phi - \frac{q}{2m} \vec{\sigma} \cdot \vec{B} \phi$$

Por otro lado, la interacción de un momento magnético con un  $\vec{B}$  externo viene dada por

$$\hat{H} = -\hat{\mu} \cdot \vec{B} = -g \frac{q}{2m} \hat{S} \cdot \vec{B}$$

$$\text{Como } \hat{S} = \frac{1}{2} \vec{\sigma} \Rightarrow \boxed{g_e = 2}$$

En realidad  $g_e = 2,0023193 \dots$  y se calcula teniendo en cuenta que tenemos no partículas sino campos cuánticos.



¿Por qué es necesario el adjunto de Dirac?

La ecuación adjunta

Partimos de :

$$(\not{x} - m)\psi(x) = 0$$

$$(\gamma^\mu p_\mu - m)\psi(x) = 0$$

$$(i\gamma^\mu \partial_\mu - m)\psi(x) = 0$$

Podéis demostrar lo siguiente :

$$\gamma^{i\dagger} = -\gamma^i$$

$$\gamma^{0\dagger} = \gamma^0$$

$$\text{Entonces : } \left( [i\gamma^\mu \partial_\mu - m]\psi(x) \right)^\dagger =$$

$$= \left[ (i\gamma^0 \partial_0 + i\gamma^i \partial_i - m)\psi(x) \right]^\dagger$$

$$= \partial_0 \psi^\dagger (\gamma^0)^\dagger + \partial_i \psi^\dagger (\gamma^i)^\dagger - m \psi^\dagger$$

$$= -i \partial_0 \psi^\dagger \gamma^0 + i \partial_i \psi^\dagger \gamma^i - m \psi^\dagger$$

Problema: la ecuación anterior no la podemos escribir en forma covariante.

• Multipliquemos por  $\gamma^0$  por la derecha:

Queda:

$$(-i\partial_0\psi^+ \gamma^0 + i\partial_i\psi^+ \gamma^i - m\psi^+) \gamma^0 = 0$$

$$(-i\partial_0\bar{\psi} \gamma^0 + i\partial_i\psi^+ \gamma^i \gamma^0 - m\bar{\psi} \cancel{\gamma^0}) = 0$$

$\underbrace{\gamma^i \gamma^0}_{-\gamma^0 \gamma^i}$

$$(-i\partial_0\bar{\psi} \gamma^0 - i\partial_i\bar{\psi} \gamma^i - m\bar{\psi}) = 0$$

$$\Rightarrow \boxed{i\partial_\mu \bar{\psi} \gamma^\mu + m\bar{\psi} = 0}$$

Ecuación de Dirac adjunta

Tenemos:

$$\text{Dirac: } (\gamma^\mu \partial_\mu - m)\psi = 0$$

$$\overline{\text{Dirac}} = (i\partial_\mu \bar{\psi} \gamma^\mu + m\bar{\psi}) = 0$$

$$0 = \bar{\psi} (\text{Dirac}) + (\text{Dirac}) \psi =$$

$$= \bar{\psi} (i \gamma^\mu \partial_\mu \psi) - \bar{\psi} m \psi$$

$$+ (i \partial_\mu \bar{\psi} \gamma^\mu) \psi + m \bar{\psi} \psi$$

$$= i (\bar{\psi} \gamma^\mu \partial_\mu \psi + \partial_\mu \bar{\psi} \gamma^\mu \psi) = 0$$

$$\Rightarrow \partial_\mu (\bar{\psi} \gamma^\mu \psi) = 0$$

luego  $\boxed{\partial_\mu j^\mu = 0}$  con  $\underline{j^\mu = (P, j^i)}$

y  $\boxed{j^\mu = \bar{\psi} \gamma^\mu \psi}$  es la corriente de probabilidad  
( es la famosa corriente vectorial ).

¿ Podemos construir una densidad

Lagrangiana para el campo de Dirac?

Al contrario que en el caso fermiónico, no podemos tener un análogo clásico del tipo (bosón = masa + muelle). Recordemos que los fermiones no tienen análogo clásico. Aun así, podemos postular una  $\mathcal{L}$ . Hagámoslo:

$$\boxed{\begin{aligned}\mathcal{L}_D &= \bar{\Psi} (i\partial - m) \Psi \\ &= \bar{\Psi} (i\gamma^\mu \partial_\mu - m) \Psi\end{aligned}}$$

$$\frac{\partial \mathcal{L}}{\partial (\partial_\mu \Psi)} = \bar{\Psi} i \gamma^\mu$$

$$\partial_\mu \left( \frac{\partial \mathcal{L}}{\partial (\partial_\mu \Psi)} \right) = \partial_\mu \bar{\Psi} i \gamma^\mu$$

$$\frac{\partial \mathcal{L}}{\partial \Psi} = -m \bar{\Psi}$$

$$\Rightarrow i \partial_\mu \bar{\Psi} \gamma^\mu + m \bar{\Psi} = 0 \quad (\text{Dirac})$$

De un modo similar, obtened la ecuación de Dirac (ejercicio sencillo). Sigamos avanzando.

• Momento conjugado a  $\psi$ :

$$\pi_{\psi}^{\mu} = \frac{\delta \mathcal{L}}{\delta (\partial_{\mu} \psi)} = i \bar{\psi} \gamma^{\mu}$$

$$\pi_{\bar{\psi}}^{\mu} = 0$$

• Densidad Hamiltoniana,

$$\mathcal{H} = \pi_{\psi}^0 \partial_0 \psi - \mathcal{L}$$

$$= i \bar{\psi} \gamma^0 \partial_0 \psi - \bar{\psi} (i \gamma^{\mu} \partial_{\mu} - m) \psi$$

$$= i \psi^{\dagger} \partial_0 \psi - \psi^{\dagger} \gamma^0 i \gamma^{\mu} \partial_{\mu} \psi + m \psi^{\dagger} \gamma^0 \psi$$

$$= \psi^{\dagger} (i \partial_0 - i \gamma^0 \gamma^{\mu} \partial_{\mu} + m \gamma^0) \psi$$

$$= \psi^{\dagger} (i \partial_0 - i \gamma^0 \gamma^0 \partial_0 - i \gamma^0 \gamma^i \partial_i + m \gamma^0) \psi$$

$$= \psi^{\dagger} (-i \gamma^0 \vec{\gamma} \cdot \vec{\nabla} + m \gamma^0) \psi$$



Pero sabemos que

$$(i \gamma^\mu \partial_\mu - m) \psi = 0$$

$$i \gamma^0 \partial_0 \psi + i \vec{\gamma} \cdot \vec{\nabla} \psi - m \psi = 0$$

$$\Rightarrow (-i \vec{\gamma} \cdot \vec{\nabla} + m) \psi = i \gamma^0 \partial_0 \psi, \text{ luego}$$

$$\mathcal{H} = \psi^\dagger (i \gamma^0 \partial_0 \psi) \gamma^0 = \psi^\dagger i \partial_0 \psi$$

$$\Rightarrow \boxed{\mathcal{H} = \psi^\dagger i \partial_0 \psi}$$

Prescripción de cuantización

Imponemos relaciones de anticommutación  
a tiempos iguales:

$$\{ \hat{\psi}_a(t, \vec{x}), \hat{\psi}_b^\dagger(t, \vec{y}) \} = \delta^{(3)}(\vec{x} - \vec{y}) \delta_{ab}$$

$$\{ \hat{\psi}_a(t, \vec{x}), \hat{\psi}_b(t, \vec{y}) \} = \{ \hat{\psi}_a^\dagger(t, \vec{x}), \hat{\psi}_b^\dagger(t, \vec{y}) \} = 0$$

$(a, b)$  etiquetan los componentes del cuadrispinor  
 $(a, b) = (1, 2, 3, 4)$ .

Ayer propusimos un entregable que era llegar a

$$: \hat{H} : = \int d^3 p \sum_{s=1}^2 \epsilon_p (a_{sp}^\dagger a_{sp} + b_{sp}^\dagger b_{sp})$$

Hablemos ahora, para terminar este gran bloque sobre la ecuación de Dirac, de

### Simetría local y teoría gauge para fermiones

¿Por qué necesitamos esta teoría? Porque sabemos que los  $e^-$  interactúan con campos electromagnéticos. La idea es incluir fermiones en

$\mathcal{L} = -\frac{1}{4} F_{\mu\nu} F^{\mu\nu}$  y, de esta manera, ver cómo interactúan fotones y electrones. Como resumen, veremos

cómo convertir la teoría de Dirac en una

teoría gauge imponiendo simetría  $U(1)$  local y

aplicando la prescripción de acoplamiento mínimo.

Veamos que  $\mathcal{L}_D$  es invariante bajo una transformación  $U(1)$  global:

$$\psi(x) \rightarrow \psi(x) e^{i\alpha}$$

$$\bar{\psi}(x) \rightarrow \bar{\psi}(x) e^{-i\alpha}.$$

Como la transformación es global,

$$\partial_\mu \psi \rightarrow e^{i\alpha} \partial_\mu \psi.$$

Por lo tanto,

$$\mathcal{L}_D = \bar{\psi} (i\not{\partial} - m) \psi \rightarrow$$

$$\rightarrow \bar{\psi} e^{-i\alpha} (i\not{\partial} - m) \psi e^{i\alpha} = \bar{\psi} (i\not{\partial} - m) \psi$$

Como resultado de esta invariancia, hay una corriente de Noether conservada (podéis calcularla usando los resultados del capítulo de  $T_{\mu\nu}$  clásicos de campos):

$$J^\mu = \bar{\psi} \gamma^\mu \psi$$

Imponemos ahora invariancia frente a una transformación  $U(x)$  local. El cambio es:

$$\psi \rightarrow \psi e^{i\alpha(x)}$$

Además, introduzcamos un campo gauge,  $A_\mu$ , mediante la derivada covariante (acoplamiento mínimo):

$$D_\mu = \partial_\mu + iq A_\mu(x)$$

Para asegurar invariancia local  $U(x)$ , el campo gauge se tiene que transformar como

$$A_\mu(x) \rightarrow A_\mu(x) - \frac{1}{q} \partial_\mu \alpha(x)$$

densidad Lagrangiana

Con todos estos ingredientes, la ecuación de

Dirac localmente  $U(1)$  invariante es

$$\mathcal{L} = \bar{\psi} (i \not{D} - m) \psi,$$

con  $\not{D} = \gamma^\mu \not{D}_\mu = \gamma^\mu (\partial_\mu + iq A_\mu)$



Desarrollando brevemente:

$$\mathcal{L} = \bar{\Psi} (i \not{\partial} - m) \Psi - \underbrace{g \bar{\Psi} \not{A} \Psi}$$

éste es el famoso término de interacción

$$\mathcal{L}_I = -g \bar{\Psi} \gamma^\mu A_\mu \Psi$$

Si sumamos términos, podemos escribir las contribuciones del campo gauge de Maxwell y del campo fermiónico localmente invariante gauge, así como de la interacción entre ellos.

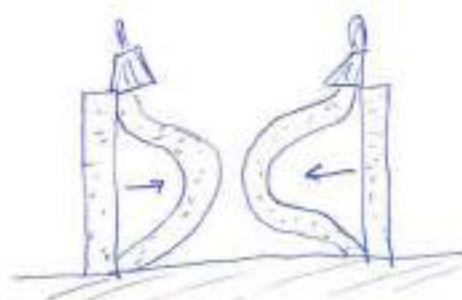
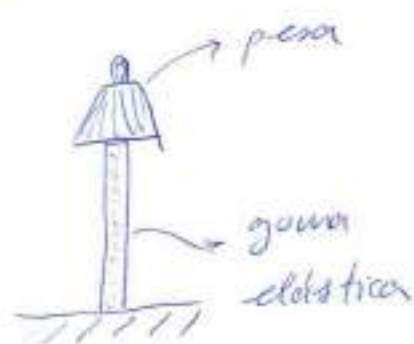
Dicha Teoría, llamada QED, es la más exitosa de todas las teorías que la física ha desarrollado:

$$\mathcal{L} = -\frac{1}{4} F_{\mu\nu} F^{\mu\nu} + \bar{\Psi} (i \not{\partial} - m) \Psi - g \bar{\Psi} \not{A} \Psi$$



## RUPTURA DE SIMETRÍA

"El estado fundamental no tiene la misma simetría que el Hamiltoniano que describe el sistema"



Dos paribilidades que rompen simetría.

## Ruptura de simetría con un Lagrangiano

Comencemos con

$$\mathcal{L} = \frac{1}{2} (\partial_\mu \phi \partial^\mu \phi) - V(\phi)$$

Una teoría muy usada es la llamada

$\lambda \phi^4$ . Para ésta:

$$V(\phi) = \frac{\mu^2}{2} \phi^2 + \frac{\lambda}{4!} \phi^4 \quad (\lambda > 0)$$

Observamos que  $\mathcal{L}$  es invariante bajo la transformación discreta  $\phi(x) \rightarrow -\phi(x)$ .

El mínimo del potencial está en:

$$\frac{dV}{d\phi} = \mu^2 \phi + \frac{\lambda}{3!} \phi^3 = 0$$

Entonces,  $\mu^2 > 0 \Rightarrow$  mínimo en  $\phi = 0$ .

( $\mu = m$  sería la masa de las excitaciones del campo escalar considerado)

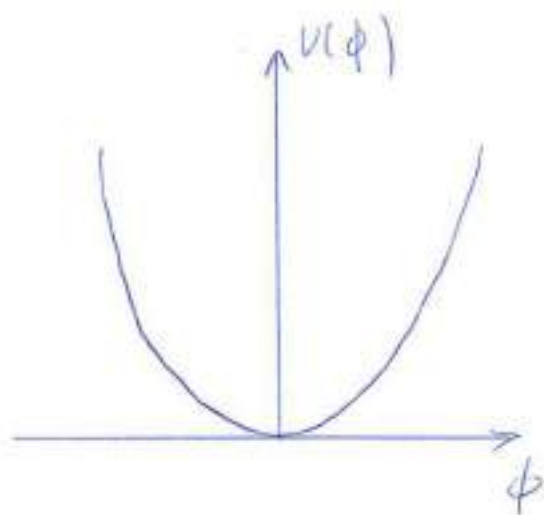
¿Qué ocurre si hacemos?

$$V(\phi) = -\frac{\mu^2}{2} \phi^2 + \frac{\lambda}{4!} \phi^4$$

Entonces, el mínimo está en

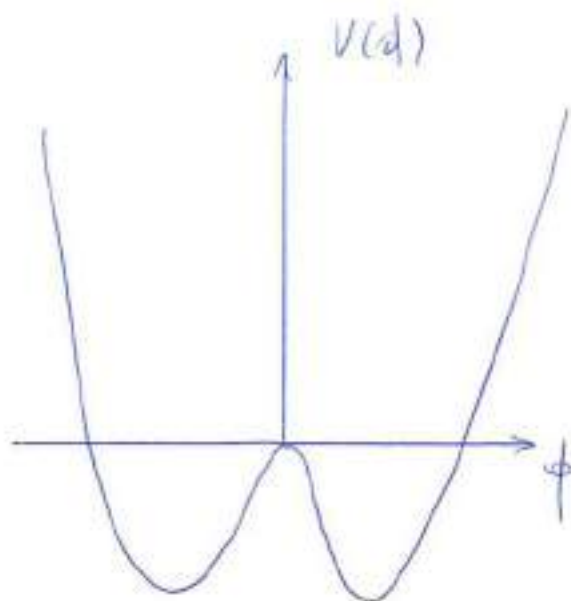
$$\phi_0 = \pm \left( \frac{6\mu^2}{\lambda} \right)^{1/2}$$

y tendremos la siguiente situación:



$$\mu^2 > 0$$

$$\phi_0 = 0$$



$$\mu^2 < 0$$

$$\phi_0 = -\sqrt{\frac{6\mu^2}{\lambda}} \quad \phi_0 = +\sqrt{\frac{6\mu^2}{\lambda}}$$

En el caso de la derecha, tenemos dos vacíos para escoger. El sistema escogerá uno de ellos y se romperá la simetría  $\phi_0 \rightarrow -\phi_0$  del estado fundamental.

¿Cómo son las excitaciones (partículas) del nuevo vacío comparadas con la del estado sin ruptura de simetría?

Escogemos  $\phi_0$  y desarrollamos alrededor de este número.

$$\begin{aligned} V(\phi - \phi_0) &= V(\phi_0) + \left( \frac{\partial V}{\partial \phi} \right)_{\phi_0} (\phi - \phi_0) + \frac{1}{2!} \left( \frac{\partial^2 V}{\partial \phi^2} \right)_{\phi_0} (\phi - \phi_0)^2 + \dots \\ &= V(\phi_0) + \mu^2 (\phi - \phi_0)^2 + \dots \end{aligned}$$

$$\left[ \frac{\partial^2 V}{\partial \phi^2} = -\mu^2 + \frac{\lambda \phi^2}{2} = \begin{cases} -\mu^2 & \phi_0 = 0 \\ 2\mu^2 & \phi_0 = \pm \sqrt{6\mu^2/\lambda} \end{cases} \right]$$

Entonces, como  $V(\phi_0) = \text{cte}$  y no modifica las ecuaciones de movimiento:

$$\mathcal{L} = \frac{1}{2} \partial_\mu \phi' \partial^\mu \phi' - \mu^2 \phi'^2 + \frac{\lambda}{4!} (\phi')^4,$$

con  $\phi' = \phi - \phi_0$ .

Si comparamos con la teoría original:

$$\mathcal{L} = \frac{1}{2} \partial_\mu \phi \partial^\mu \phi - \frac{\mu^2}{2} \phi^2 - \frac{\lambda}{4!} \phi^4$$

pasamos de  $m = \mu$  a  $m = \sqrt{2}\mu$

(ha cambiado la masa de nuestra teoría)

¿Qué ocurriría ahora si la simetría rota fuera continua?

### Ruptura de simetrías continuas. Teorema de Goldstone

Consideremos una teoría que tiene un campo con dos componentes,  $\phi_1$  y  $\phi_2$ . Si le damos la vuelta al término de masa (como hicimos antes), queda:

$$\mathcal{L} = \frac{1}{2} [ (\partial_\mu \phi^1 \partial^\mu \phi^1) + (\partial_\mu \phi^2 \partial^\mu \phi^2) ] \\ + \frac{\mu^2}{2} (\phi_1^2 + \phi_2^2) - \frac{\lambda}{4!} (\phi_1^2 + \phi_2^2)^2$$

(Esto viene de un campo escalar complejo

$$\varphi = \phi_1 + i\phi_2)$$

Este Lagrangiano tiene una simetría,

Invariancia  $SO(2)$  en el espacio interno

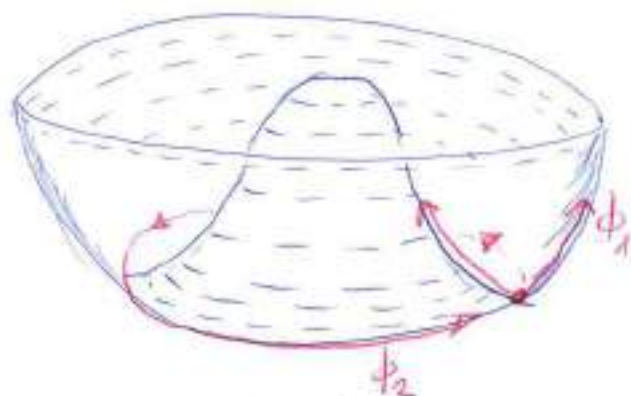
(rotaciones en dicho espacio)  $\rightarrow$  en el plano

$$\phi_1(x) - \phi_2(x)$$



$$\begin{pmatrix} \phi_1' \\ \phi_2' \end{pmatrix} = \begin{pmatrix} \cos \alpha & \sin \alpha \\ -\sin \alpha & \cos \alpha \end{pmatrix} \begin{pmatrix} \phi_1 \\ \phi_2 \end{pmatrix}$$

$$V(\phi_1, \phi_2) = -\frac{\mu^2}{2}(\phi_1^2 + \phi_2^2) + \frac{\lambda}{4!}(\phi_1^2 + \phi_2^2)^2 \quad \text{tiene la forma}$$



Hay un número infinito de mínimos del potencial:

$$V(x) = -\frac{\mu^2}{2}x + \frac{\lambda}{4!}x^2 \quad (x = \phi_1^2 + \phi_2^2)$$

$$\frac{\partial V}{\partial x} = 0 \Rightarrow x = \phi_1^2 + \phi_2^2 = \frac{6\mu^2}{\lambda}$$

círculo que contiene a los  
infinitos mínimos de  $V(\phi_1, \phi_2)$ .

Supongamos, como antes, que el sistema escapa  
un mínimo. En particular, tomemos

$$(\phi_1, \phi_2) = \left( +\sqrt{\frac{6\mu^2}{\lambda}}, 0 \right) \text{ y desmenuamos}$$

usando  $\phi_1' = \phi_1 - \sqrt{\frac{6\mu^2}{\lambda}}$  y  $\phi_2' = \phi_2$ .

Ignorando constantes y cortando a orden dos, como antes, obtenemos

$$\mathcal{L} = \frac{1}{2} \left( \partial_\mu \phi_1' \partial^\mu \phi_1' + \partial_\mu \phi_2' \partial^\mu \phi_2' \right) - \mu^2 (\phi_1')^2 + O(\phi^3)$$

Resultado :

- las partículas del campo  $\phi_1'$  tienen masa  $m = \sqrt{2} \mu$
- el campo  $\phi_2'$  es sin masa

Teorema de Goldstone : la ruptura de una simetría continua da lugar a una excitación masiva y a una sin masa (llamado bosón de Goldstone)

### Ejercicio (no entregable)

$U(1) \cong SO(2)$  (isomorfismo)

$$\mathcal{L} = (\partial^\mu \psi)^\dagger (\partial_\mu \psi) + \mu^2 \psi^\dagger \psi - \lambda (\psi^\dagger \psi)^2$$

• definiendo  $\psi(x) = \rho(x) e^{i\theta(x)}$

• demostrando:

$$\mathcal{L} = (\partial_\mu \rho)^2 + \rho^2 (\partial_\mu \theta)^2 + \mu^2 \rho^2 - \lambda \rho^4$$

Ahora, la invariancia  $U(1)$  es frente a transformaciones del tipo

$$\begin{aligned}\rho &\rightarrow \rho \\ \theta &\rightarrow \theta + \alpha\end{aligned}$$

• Romped la simetría y obtened las masas de los campos  $\rho'$  y  $\theta'$  (como en los ejemplos anteriores).

## Ruptura de simetrías en teorías gauge.

### El mecanismo de Higgs

Ya sabemos que un Lagrangiano que tiene una simetría local contiene campos gauge. Por ejemplo:

$$\mathcal{L} = (\partial^\mu \psi^\dagger - i g A^\mu \psi^\dagger)(\partial_\mu \psi + i g A_\mu \psi) + \mu^2 \psi^\dagger \psi - \lambda (\psi^\dagger \psi)^2 - \frac{1}{4} F_{\mu\nu} F^{\mu\nu}$$

ya le dimos la vuelta al signo

es invariante  $U(1)$  local ( $\psi \rightarrow \psi e^{i\alpha(x)}$ )

siempre que  $A_\mu$  transforme como

$$A_\mu \rightarrow A_\mu - \frac{1}{g} \partial_\mu \alpha(x)$$

¿Qué describe el Lagrangiano anterior?

- partículas masivas con  $E_p = \sqrt{p^2 + \mu^2}$  y carga opuesta (partículas escalares) (2 partíc.)
- partículas sin masa (vectoriales) con  $E_p = |\vec{p}|$  (2 partíc según la polarización del fotón)

Para romper la simetría, antes vamos a escribir el Lagrangiano anterior de forma ligeramente diferente. Recordemos que tenemos:

$$\mathcal{L} = (\partial_\mu \psi^\dagger - iq A_\mu \psi^\dagger) (\partial_\mu \psi + iq A_\mu \psi) + \mu^2 \psi^\dagger \psi - \lambda (\psi^\dagger \psi)^2 - \frac{1}{4} F_{\mu\nu} F^{\mu\nu}$$

El segundo término lo escribimos como

$$\partial_\mu \psi + iq A_\mu \psi = (\partial_\mu e^{i\theta}) e^{i\theta} + i \underbrace{(\partial_\mu \theta + g A_\mu)}_{\text{término interesante}} e^{i\theta}$$

definimos

$$G_\mu = A_\mu + \frac{1}{g} \partial_\mu \theta$$

Por lo tanto,

$$(\partial_\mu \psi^\dagger - iq A_\mu \psi^\dagger) (\partial_\mu \psi + iq A_\mu \psi) =$$

$$= (\partial_\mu e^{i\theta})^2 + e^{2i\theta} g^2 G_\mu G^\mu, \text{ luego}$$



$$\mathcal{L} = (\partial_\mu \ell)^2 + \ell^2 g^2 C_\mu C^\mu + \mu^2 \ell^2 - \lambda \ell^4 - \frac{1}{4} F_{\mu\nu} F^{\mu\nu}$$

Rompamos ahora la simetría:

- mínimos del potencial sobre el círculo

$$\ell = \sqrt{\mu^2 / 2\lambda}$$

- vevs vacío:  $\ell_0 = \sqrt{\mu^2 / 2\lambda}$  y  $\theta_0 = 0$ .

- estudiamos las excitaciones alrededor del vacío.

Definiendo  $\frac{\chi}{\sqrt{2}} \equiv \ell - \ell_0$  e ignorando términos

constantes, queda

$$\mathcal{L} = \frac{1}{2} (\partial_\mu \chi)^2 - \mu^2 \chi^2 - \sqrt{\lambda} \mu \chi^3 - \frac{\lambda}{4} \chi^4$$

$$- \frac{1}{2} F_{\mu\nu} F^{\mu\nu} + \left( \frac{g^2 \mu^2}{2\lambda} C_\mu C^\mu \right) \quad \text{— si aparece un campo vectorial masivo!!}$$

$$+ g^2 \left( \frac{\mu^2}{\lambda} \right)^{1/2} \chi C_\mu C^\mu + \frac{1}{2} g^2 \lambda^2 C_\mu C^\mu + \dots$$

• Observemos que las excitaciones de  $\theta$  han desaparecido (se han cambiado por las de  $C_\mu$ )

• Ahora tenemos:

i) una partícula escalar masiva

$$\text{con } E_p = \sqrt{p^2 + 2\mu^2}$$

iii) tres partículas vectoriales masivas

(excitaciones de  $C_\mu$ ) : con

$$E_p^2 = \sqrt{p^2 + \left(\frac{g^2 \mu^2}{4}\right)}$$

Recordemos que, cuando rompíamos una simetría continua, aparecía un modo escalar masivo y a otro sin masa (bosón de Goldstone)

¿Cómo hemos eliminado el Goldstone?

Así:  $C_\mu = A_\mu + \frac{1}{g} \partial_\mu \theta$  . Ha desaparecido

por hacer una transformación gauge.

Podemos entender el Mecanismo de Higgs de la siguiente manera: quitamos todos los bosones de Goldstone mediante una transformación gauge.

Nos quedan dos grandes temas para acabar la asignatura: teorías gauge no abelianas basadas en  $U(1) \times SU(2)$  y el modelo de Weinberg-Salam, basado en  $U(1) \times SU(2) \times SU(3)$ .

## Teorías gauge no abelianas

Recordemos que la teoría dada por

$$\mathcal{L} = (D^\mu \psi)^\dagger (D_\mu \psi) - m^2 \psi^\dagger \psi - \frac{1}{4} F_{\mu\nu} F^{\mu\nu}$$

con  $D_\mu \psi = (\partial_\mu \psi + i g A_\mu \psi)$  es invariante gauge local bajo las transformaciones

$$\psi \rightarrow \psi e^{i\alpha(x)}$$

$$A_\mu \rightarrow A_\mu - \frac{1}{g} \partial_\mu \alpha(x)$$

Hagámoslo usando transformaciones infinitesimales (que es lo que vamos a estudiar después)

$$\psi \rightarrow (1 + i\alpha) \psi$$

$$\partial_\mu \psi \rightarrow \partial_\mu \psi + (\partial_\mu \alpha) \psi + i\alpha (\partial_\mu \psi)$$

$$A_\mu \rightarrow A_\mu - \frac{1}{g} \partial_\mu \alpha(x)$$

Vamos hasta  $\mathcal{O}(\alpha)$ :

$$\psi^\dagger \psi \rightarrow (\psi^\dagger - i\alpha \psi^\dagger)(\psi + i\alpha \psi) = \psi^\dagger \psi + O(\alpha^2)$$

$$\begin{aligned} D_\mu \psi &\rightarrow \left[ \partial_\mu \psi + i(\partial_\mu \alpha)\psi + i\alpha(\partial_\mu \psi) + \right. \\ &\quad \left. + i\left( A_\mu - \frac{1}{g} \partial_\mu \alpha \right)(\psi + i\alpha \psi) \right] \\ &= \left[ \partial_\mu \psi + i\left( A_\mu - \frac{1}{g} \partial_\mu \alpha \right)\psi \right] + i\alpha \left[ \partial_\mu \psi + i\left( A_\mu - \frac{1}{g} \partial_\mu \alpha \right)\psi \right] + O(\alpha^2) \\ &= (1 + i\alpha) D_\mu \psi + O(\alpha^2) \end{aligned}$$

$$\text{luego } (D_\mu \psi^\dagger)(D_\mu \psi) \rightarrow (D_\mu \psi^\dagger)(D_\mu \psi) + O(\alpha^2) \text{ y}$$

la teoría es invariante.

¿Qué ocurre si el grupo de simetría no es abeliano? Yang-Mills (1954) se preguntaron qué ocurriría en el caso de  $U(1) \rightarrow SU(2)$ .

Consideremos una teoría de Dirac con dos tipos de fermiones de igual masa.

$$\mathcal{L} = \bar{f}(i\not{\partial} - m)f + \bar{g}(i\not{\partial} - m)g$$



Si definimos

$$\Psi = \begin{pmatrix} f \\ g \end{pmatrix} \quad \bar{\Psi} = (\bar{f} \ \bar{g}) \text{ , queda}$$

$$\mathcal{L} = \bar{\Psi} (i \gamma^\mu \partial_\mu - m) \Psi$$

Introducimos ahora las matrices de Pauli de isospin,  $\vec{\tau}$ . Son los mismos que  $\vec{\sigma}$  pero con recordamos que actúan sobre dos tipos de fermiones (recordad  $p$  y  $n$ : dobletes de isospin).

$\mathcal{L}$  es invariante bajo una transformación de  $SU(2)$  global

$$\Psi \rightarrow e^{\frac{i}{2} \vec{\tau} \cdot \vec{\alpha}} \Psi$$

$$\bar{\Psi} \rightarrow \bar{\Psi} e^{-\frac{i}{2} \vec{\tau} \cdot \vec{\alpha}}$$

$$(\vec{\tau} = (\tau_x, \tau_y, \tau_z)).$$

Para seguir profundizando en la técnica, consideremos transformaciones infinitesimales

$$\Psi \rightarrow (1 + \frac{i}{2} \vec{z} \cdot \vec{\sigma}) \Psi$$

Ejemplo sencillo: demostrar que  $\mathcal{L}$  es invariante bajo  $SU(2)$  global usando transformaciones infinitesimales.

Volvamos ahora al caso de invariancia

$SU(2)$  local:  $x \rightarrow x(x)$ , como vimos antes:

- el término de masa no es problemático.
- La derivada sí lo es:

$$\partial_\mu \Psi \rightarrow \partial_\mu \Psi + \frac{i}{2} (\vec{z} \cdot \vec{\sigma}(x)) \partial_\mu \Psi + \frac{i}{2} (\vec{z} \cdot \partial_\mu \vec{\alpha}(x)) \Psi$$

recordemos que este es el término problemático

- ¿qué hacemos?

$U(1) \rightarrow$  introducir un campo gauge,  $A_\mu$   
 $\dim(U(1)) = 1 \rightarrow 1$

- Como  $\dim(\mathfrak{su}(2)) = 3$ , vamos ahora a introducir 3 campos gauge vectoriales (necesitamos 3 porque tenemos 3 derivadas "que arreglar").

índices internos = 1, 2, 3

$$\vec{W}_\mu(x) = (W_\mu^1(x), W_\mu^2(x), W_\mu^3(x))$$

índices de Minkowski = 0, 1, 2, 3

- Igual que habíamos hecho para  $U(1)$ :

$$D_\mu = \partial_\mu + ig A_\mu, \quad \text{ahora interno}$$

$$D_\mu = \partial_\mu - \frac{i}{2} g \vec{\tau} \cdot \vec{W}_\mu(x)$$

$\swarrow$  constante de acoplamiento  
 (carga de la teoría)  
 $\searrow$  convector (podría ser el quark)

La idea es la de siempre: quiero que la derivada transforme como el campo